

**Հ**ԱՅԱՍՏԱՐԻ ՔԻՄԻԱԿԱՐ ՀԱՐԴԵՍ

Химический журнал армении

CHEMICAL JOURNAL OF ARMENIA

Издаётся с 1947 г. Выходит 12 раз в год на русском языке

#### ьгричричивыпцьчри

Ա. Բ. Բաբայան (գլի. իմրադիր), Շ. Հ. Բաղանյան (գլի. իմրադրի տեղակալ), Գ. Հ. Գրիգորյան, Վ. Մ. Բառայան, Մ. Հ. Իննիկյան (գլի. իմրադրի տեղակալ), Ա. Հ. Մանթաշյան, Մ. Գ. Մանվելյան, Հ. Ա. Մատնիշյան, Է. Ա. Մարգարյան, Գ. Բ. Մարտիրոսյան, Ս. Հ. Վարդանյան, Ս. Ա. Տեր-Դանիելյան (պատ. գարտուղար)

#### РЕДАКЦИОННАЯ КОЛЛЕГИЯ

А. Т. Бабаян (глав. редактор), Ш. О. Баданян (зам. глав. редактора), С. А. Вартанян, Г. О. Григорян, М. Г. Инджикян (зам. глав. редактора), М. Г. Манвелян, А. А. Манташян, Э. А. Маркарян, Г. Т. Мартиросян, А. А. Матнишян, В. М. Тараян, С. А. Тер-Даниелян (ответ. секретарь)

Маримерть Рушів Ашидівів Вріктів—19, Рицевірна п. Рушів, 214, 46а. 56-08-31 Адрес редакции: Ереван-19, Барекамутян, 24г, тел. 56-08-31

> Издательство АН Армянской ССР Армянский химический журнал

	-
Ընդհանուս և ֆիզիկական քիմիա	
Օիժոնյան Տ. Ռ., Մանթաշյան Ա. Հ. — Ռադիկալների կուտակման օրինաչափու-	
թյունները թուտանների սառը բոցերում	757
Գրիզորյան Ս. Կ. — Կուժոլի հիղբոպերօբսիդ + ամինոսպիրտներ + Me <sup>2+</sup> ռեակ- ցիաներուժ միջանկյալ կոմպլեբաների առաջացման և ջայքայման հաստա-	
աունների հաշվարկներ	763
ղիջբոիզմը կոզմոսրոշված պոլիվինիլացհատաային մատրիցայում	709
Charqualulus և անալիսիկ քիմիա	
Գասպարյան Գ. Հ., Օվչիյան Վ. Ն. — Գողպատի անողային վարբացիծը ռևակցիոն	
Հատկու թյուն ունևցող հրաբիային ապառներ պարունակող ցեժենաային	773
Մանուկյան Ռ. Վ., Գաբրիելյան Ջ. Ց. — Հուժջային, փրփբևցված պեոլիտի և	
«Արագած» ֆիլարող փոշու ուսումնասիրությունը	778
Ասյանյան Կ. Գ., Նաջարյան Ա. Կ., Նիկողոսյան Ռ. Բ., Գրիգորյան Կ. Գ. — Հագ-	
վագյուտ հոգերի սիլիկատների ստացման ուսումնասիրություններ	783
Օրգանական քիմիա	
Գրիզորյան Ձ. Վ., Գևորգյան Ա. Ժ., Բաբայան Ա. Թ. — Հետաղոտու թյուններ	
աժինների և աժոնիումային միացությունների բնապավառում։ CXLIX.	
Ալիլային ալդոհնաժինների տինիները պոտհնցիալ ենաժոնիուժային ադերի	
<i>ճեղջման վերախմբավորման ռեակցիայով</i>	789
ակերիդինի ածանցյալների տատցման նոր հղանակ	793
ասչատրյան Լ. Ա., Հակոբյան Ս. Կ., Մալխասյան Ա. 8., Միրաթյան Ս. Մ., Մար-	
աիրոսյան Գ. Ք. — Տարբեր հավելույթների ազդեցությունը բուտադիենի	
ցածրջերմաստիճանային գլորացման վրա	797
Կուռոյան Ռ. Հ., Մարկոսյան Ա. Ի., Վարդանյան Ս. Հ. — 4-Ացետիլահարահիդրո-	
պիրանների և 4-ացետիլաետրանիդրոթիսպիրանի սինթեզի մեթոդ	801
Կուռոյան Ռ. Հ., Հարությունյան Ն. Ս., Վարդանյան Ս. Հ. — <i>Տետրահիղբոպիրանի</i>	
odmf տանաբրադան փուրդնիսրան արմարքանվագ ը ծարմարքանվագ անսանիս-	
նաթթուների էսթերների սինթեղը և մի <u>ջանի փոխարկուժները</u>	808
Ավհահայան Ա. Ս., Մարգարյան Է. Ա. — Իզոբինոլինի աժանցյալներ։ XVII. Որոշ Հ-(N,N-դիալկիլաժինոալկիլ) - 6,7-դիժեթօբոի-4,4-դիժեթիլ-1,2,3,4-աևա-	
հարիքեսիմանիրորեն	823
imit die dan Chanchanh	020
ture hunorgoutebr	
կազին Ի. Վ., կիսկին Վ. Ի., Գեդիմին Վ. Վ., կազանյուկ Դ. Ս. — Ալկայի մե-	
տաղների իոնների և մի ջանի կրաուն-եներների հետ կոմպլեջմենրի կա-	
jackach jak daufu	817
Բատիրբահ Ն. Ա., Ջորին Վ. Վ., Իմաշև Ռ. Բ., Ջլոտսկի Ս. Ս., Կարախանով Ռ. Ա.,	
Ռախմանկուլով Դ. Լ. — Ացետալների ակտիվությունը ալկիլ ռագիկալնե-	-
prof grandel unfame ataufghanged.	828
Սահակյան Ա. Մ., Սաֆարյան Ա. Ա., Հակոբյան Ա. Մ. — 2-Քյորժեթիլ-3,4,5-արի-	200
գլորտիոֆենի ոինթեգը աժինի րաղայի վրա	828

# СОДЕРЖАНИЕ

	Стр_
Общая и физическая химия	
Симонян Т. Р., Манташян А. А. — Закономерности накопления радикалов	
в холодных пламенах бутанов	757
мола $+$ аминоспирты $+$ $Me^{2+}$	763
ацетатной матрице	769
Неорганическая и аналитическая химия	
Гиспарян Г. А., Овчиян В. Н. — Анодное поведение стали в цементном	
камне, содержащем реакционноспособные вулканические породы	773
Манукин Р. В., Габриелян Д. Ц Физико-химические исследования при-	
родного, вспученного перанта и фильтр-порошка "Арагац" Асланян Г. К., Наджарян А. К., Никогосян Р. Б., Григорян К. Г.—Син-	778
тез силикатов редкоземельных элементов	783-
Органическая химия	
Григорин Дж. В., Геворкин А. Ж., Бабаян А. Т. — Исследования в об- ласти аминов и аммониевых соединений. СХLIX. Синтез аллиловых альдоенаминов реакцией перегруппировки-расщепления потенциаль-	
ных енаммониевых солей	789
вый путь синтеза производных пиперидина	793
хлорирование бутадиена	797
Куроян Р. А., Маркосян А. И., Вартанян С. А. — Метод синтеза и некото-	
рые превращения 4-ацетилтетрагидропиранов и тетрагидротиопирана	801
Куроян Р. А., Арутюнян Н. С., Вартанян С. А. — Синтез и некоторые	
превращения функционально замещенных и незамещенных эфиров пропионовых кислот тетрагидропиранового ряда	806
торые 2-(N,N-дпалкиламиноалкил)-6,7-диметокси-4,4-диэтил-1,2,3,4-тет-	813
рагидроизохинолины	010-
Краткие сообщения	
Казин И. В., Кыскин В. И., Гедымин В. В., Каганюк Д. С. — Об устой-	
чивости комплексов ионов щелочных металлов с некоторыми краун- эфирами	817
Батырбаев Н. А., Зорин В. В Имашев У. Б., Злотский С. С., Караха-	
нов Р. А., Рахманкулов Д. Л. — Активность ацеталей в реакции отрыва водорода алкильными радикалами	822
Саакян А. М., Сафарян А. А., Акопян А. Н. — Синтез аминов на базе	JLL
2-хлорметил-3.4.5-трихлортнофена	826

# CONTENTS

# General and Physical Chemistry

Simonian T. R., Mantashian A. H. — Free Radical Accumulation Behaviour in the Cool Flames of Butanes	757
Grigorian S. K. — Determination of Formation and Decomposition Constants of the Intermediate Complexes in the Cumene Hydroperoxide + Ami-	
noalcohols + Me <sup>2+</sup> Reaction System	763
Avoyan R. S., Dudivanian A. K., Musheghian A. V. — Infrared Dichroism of Sulphanilamides in Oriented Polyvinylacetate Samples	769
Inorganic and Analytical Chemistry	
Gasparian G. H., Ouchian V. N.— The Anodic Behaviour of Steel in the Cement Stone Containing Reactive Voicanic Rocks	773
Itle and of the Filtering Powder "Aragats"	778
thesis of Silicates of Rare-Earth Elements	783
Organic Chemistry	
Grigorian J. V., Guevorkian A. Zh., Babayan A. T. — Investigations in the Field of Amines and Ammonium Compounds. CXLIX. Synthesis of Allylic Enamines by the Rearrangement-Cleavage Reaction of Potential	
Enammonium Salts	789
A New Route to the Synthesis of Piperidine Derivatives	793
Temperature Chlorination of Butadiene	797
Kuroyan R. H., Haroutyunian N. S., Vartanian S. H. — Synthesis and Some Transformations of Functionally Substituted and Non-Substituted Pro-	801
pionic Acid Esters Containing a Tetrahydropyran Ring	806
isoquinolines	813
Short Communications	
Kazin I. V., Kiskin V. I., Guedimin V. V., Kaganyuk D. S. — On the Stability of Complexes of Alkaline Metal lons with Some Crown-Ethers Batirbayev N. A., Zorin V. V., Imashev U. B., Zlotsky S. S., Karakhanov	817
R. A., Rakhmankulov D. L.— The Activity of Acetals in the Hydrogen Elimination Reaction by Alkyl Radicals	822
the Basis of 3-Chlormethyl-3.4.5-trichlorothiophene	826

XXXII, № 10, 1979

#### ОБЩАЯ И ФИЗИЧЕСКАЯ ХИМИЯ

УДК 541.124.7+547.214

# ЗАКОНОМЕРНОСТИ НАКОПЛЕНИЯ РАДИКАЛОВ В ХОЛОДНЫХ ПЛАМЕНАХ БУТАНОВ

Т. Р. СИМОНЯН и А. А. МАНТАШЯН

Институт химической физики АН Армянской ССР, Ереван Поступило 17 IV 1979

Нзучены стабилизированные холодные пламена нормального и изобутанов. Установлено, что в этих условиях возникают высокие концентрации радикалов (>1014 см<sup>-3</sup>), намного превышающие концентрацию в медленной реакции. С изменением температуры концентрация раднкалов в холодном пламени проходит через максимум (350—360°). Основные зависимости совпадают с данными, ранее полученными в стабилизированных пламенах пропана, и позволяют делать общие заключения о причинах, приводящих к возникновению и затуханию холодных пламен в углеводородах.

Рис. 2, библ. ссылок 7.

Недавно в стабилизированном холодном пламени пропана были обнаружены высокие концентрации перекисных радикалов (>10<sup>14</sup> см<sup>-3</sup>) типа RO<sub>2</sub>. Измерения показали, что в медленной реакции непосредственно перед возникновением холодного пламени концентрация радикалов в десятки раз ниже, чем в самом пламени [1—3]. Установлено также, что с повышением температуры пламени жонцентрация радикалов проходит через максимум и затем падает [2]. Полученные данные о поведении радикалов показывают, что возникновение холодного пламени имеет цепную природу и что затухание его связано с переходом реакции в область отрицательного температурного коэффициента скорости реакции в результате повышения температуры пламени [2, 3].

Установление общих и отличительных черт закономерностей накопления радикалов в процессах холоднопламенного ожисления углеводородов различного строения, очевидно, поможет полнее понять природу этого интересного явления.

Объектом исследования в настоящей работе были выбраны следующие после пропана углеводороды—бутаны нормального и изо-строения, окисление которых сопровождается большими тепловыделениями, чем окисление пропана. Как было показано в [4], в стабилизированных пла-

менах бутанов в результате саморазогревов возникают сложные температурные профили. Кроме того, области давлений и температур, при которых возникают холодные пламена у этих углеводородов, несколько

отличаются [5].

Для изучения поведения радикалов в режиме холоднопламенного окисления использовалась подробно описанная в работах [1, 2] методика стабилизации холодного пламени в двухсекционном реакторе с применением кинетического метода вымораживания радикалов [6]. Экспериментальная установка позволяла независимо регулировать температуру обенх частей реактора, выполненного из молнбденового стекла ( $d_1 \! = \! d_2 \! = \!$ 6 см,  $l_1$ =31 см,  $l_2$ =8 см), путем осуществления раздельного подогрева [2]. В результате саморазогревов в ячейке стабилизированного асимметричные холодного пламени устанавливаются ные профили с максимальным градиентом температуры до 60-70° в случае нормального и до 35° в случае изобутана [4]. По этой причине при изучении температурной зависимости накопления радикалов температура среды измерялась в точке отбора радикалов, непосредственно у кончика зонда, с помощью которого небольшая доля газов отбиралась на вымораживание. Хромель-алюмелевая термопара (d=0,2) мм была помещена в тонкостенный стеклянный чехол. В экспериментах использовались углеводороды высокой чистоты промышленного производства. Реагирующая смесь во всех случаях содержала углеводород и кислород в соотношении 1:1.

Для установления природы радикалов, образующихся при окислении бутана, регистрация спектров ЭПР проводилась на радиоспектрометре РЭ-1306. Опыты в этих целях проводились в статических условиях в области холоднопламенного окисления при начальной температуре 315° и давлении 280 тор для изо-С<sub>4</sub>H<sub>10</sub> и 290° и 220 тор—для и-С<sub>4</sub>H<sub>10</sub>. Эти условия были выбраны исходя из наилучшего режима вымораживання и регистрации радикалов. При этом в процессе окисления изобутана возникали три холоднопламеные вспышки, а нормального бутанаодна.

Спектры ЭПР вымороженных радикалов (рис. 1) показывают, что значительную долю в смеси образующихся перекисных радикалов в обонх случаях составляют метилперекионые (рис. la и б). Для сравнения на рис. 1 в приводится спектр ЭПР перекисных радикалов, вымороженных из реакции окисления метана ( $T_{\text{ист}} = 433^{\circ}$ ,  $P_{\text{ист}} = 420 \ \tau op$ ) и зарегистрированных на том же радиоспектрометре.

На рис. 2 приведены результаты по температурной зависимости радикалов в стабилизированных холодных пламенах нормального и изобутанов. Опыты проводились в описанном выше реакторе, причем температура в первой ячейке реактора поддерживалась постоянной. В случае изобутана она составляла 309°, а нормального 282°. Времена контакта в первой ячейке равнялись 21 и 26 сек, а давление 280 и 216 тор, соответственно. Скорости газового потока в реакторе во всех случаях лежали в пределах 1,2—1,7 см/сек.

Данные по концентрации радикалов в холодном пламени бутанов (рис. 2) приводятся начиная с температур, несколько превышающих температуру в предпламенной зоне. В стабилизированном холодном пламени пропана при применении той же методики удалось получить данные по радикалам при температуре, равной температуре в предпламенной зоне [2]. Это было возможно благодаря относительно небольшим разогревам, не приводящим в случае пропана к резким температурным градиентам. В нашем же случае для отвода значительно большего количества тепла, выделяемого в холодных пламенах бутана, приходится существенно снизить подогрев зоны пламени. В результате значительного снижения температуры стенок второй ячейки реактора пламя гаснет. По этой причине наименьшая температура пламени, достигнутая в точке отбора радикалов, фиксированной во всех опытах, все же превышала температуру в предпламенной зоне на 20—30°.

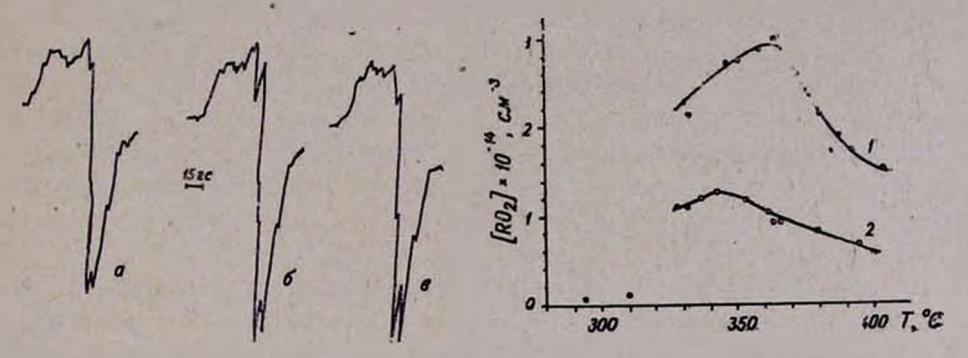


Рис. 1. Спектры радикалов, вымороженных из реакции окисления углеводородов в статических условиях: a — нормальный бутан,  $\delta$  — изобутан,  $\delta$  — метан,

Рис. 2. Зависимость концентрации радикалов от температуры в стабилизированном холодном пламени: 1 — нормальный бутан, 2 — изобутан.

Данные, представленные на рис. 2, тем не менее, показывают наличие большого скачка концентрации радикалов при переходе от предпламенной области в зону холодного пламени, как это было установлено и при изучении холодного пламени пропана [2, 3]. Как и в случае пропана, концентрация радикалов в пламени с повышением температуры возрастает и затем проходит через максимум. Увеличение концентрации радикалов при переходе от медленной реакции к пламени в точке максимума для н-С<sub>4</sub>Н<sub>10</sub> достигает 48 раз, а изо-С<sub>4</sub>Н<sub>10</sub>—11 раз. В случае пропана это отношение составляло 40 [2]. Следует отметить, что при изменении температуры пламени концентрация радикалов и яркость свечения меняются симбатно, как это наблюдалось и в случае пропана.

В холодном пламени пропана при тех же Условиях проведения реакции, что и в наших экспериментах, максимальная концентрация радикалов достигалась при температуре пламени 350°. Из данных, представленных на рис. 2, следует, что и в холодных пламенах бутанов макси-

мальная концентрация радикалов достигается при тех же температурах (350-360°). Эти результаты, очевидно, свидетельствуют об общности причин, приводящих к появлению и затуханию холодных пламен во всех изученных случаях и подтверждают сделанный вывод [2, 3] о том, что возникновение пламени имеет цепную природу, а затухание его связано с переходом реакции в область отрицательного температурного коэффициента (ОТК) по мере возрастания температуры пламени. Последний вывод основан на том факте, что температурные зависимости концентрации радикалов в холодном пламени в обоих изученных случаях, как и данные по холодным пламенам пропана, совпадают с температурной зависимостью максимальной концентрации радикалов реакции окисления пропана в области ОТК [7]. Скачкообразное изменение концентрации радикалов при переходе от медленной реакции к холодному пламени в условиях малых степеней выгорания исходных веществ свидетельствует о цепной природе явления холодных пламен. Выгорание углеводорода в холодном пламени пропана не превышало 3-5% [3], здесь же достигает 10% в случае изобутана и 23% в случае нормального бутана. Увеличение выгорания исходных веществ при переходе от пропана к бутанам является следствием отличий в реакционной способности этих углеводородов. Действительно, согласно экспериментальным данным, с ростом температурных градиентов при переходе от одного углеводорода к другому растет и степень выгорания в пламени.

Величина температурного градиента, устанавливающегося в зоне колодного пламени, естественно, зависит также от теплоотвода в окружающую среду. С целью измерения потока тепла, рассеиваемого через стенки реактора, измерялась разность температур на внутренней и внешней поверхностях в одной точке реактора в условиях стабилизированного холодного пламени. Разность температур в случае нормального бутана оказалась равной 10,7°, в случае изобутана—2,5°, при максимальной температуре стабилизированного холодного пламени ≈ 382° в обоих случаях. Оценка показывает, что количество тепла, отводимого через стенку реактора, на порядок превышает тепло, расходуемое на дополнительный подогрев смеси во второй ячейке реактора. Поэтому тепловой эффект можно в первом приближении приравнять к теплу, отводимому через стенки реактора.

Поскольку измерение  $\Delta T$  производилось в одних и тех же точках на внешней и внутренней поверхностях реакционной ячейки, то отношение тепловых потоков для двух случаев оказывается равным отношению разностей температур на стенке  $\Delta T_1$  и  $\Delta T_2$ :

$$\frac{Q_{n-C_1H_{10}}}{Q_{l-C_1H_{10}}} = \frac{\Delta T_1}{\Delta T_2} = 4.3$$

Отношение суммарных концентраций перекионых радикалов в тех же условиях, по данным рис. 2, составляет

$$\frac{\sum_{[RO_2]_{H=C_4H_{10}}}}{\sum_{[RO_2]_{H=0}-C_4H_{10}}} = 2.4$$

Полученные величины лучше согласуются, если считать, что тепловой эффект реакции пропорционален квадрату концентрации радикалов, а не ее первой степени. Это может свидетельствовать в пользу предположения [2, 3] о том, что основные тепловыделения в холодных пламенах обусловлены нелинейными реакциями радикалов, такими как

$$RO_3 + RO \longrightarrow$$
 продукты  $RO + RO \longrightarrow$  продукты.

# ՌԱԴԻԿԱԼՆԵՐԻ ԿՈՒՏԱԿՄԱՆ ՕՐԻՆԱՉԱՓՈՒԹՅՈՒՆՆԵՐԸ ԲՈՒՏԱՆՆԵՐԻ ՍԱՌԸ ԲՈՑԵՐՈՒՄ

s. n. սուրուցու և u. 2. սութուշցու

Ուսումնասիրված են նորմալ և իզորուտանների ստաբիլացված սառը բոցերը, որտեղ հայտնաբերված են ռադիկալների բարձր կոնցենտրացիաներ > 1014 ռմ<sup>-3</sup>), շատ ավելի դերազանցող դանդաղ օգսիդացման ժամանակ եղած կոնցենտրացիային, 8ույց է տրված, որ ռադիկալների կոնցենտրացիան հասնում է իր մաքսիմալ արժեքին՝ 350—360°-ին։ Ստացված հիմնական օրինաչափությունները համընկնում են պրոպանի ստաբիլացված սառը բոցին վերաբերվող տվյալների հետ։ Այդ թույլ է տալիս անել ընդհանուր եզրակարություններ ածխածրածիններում սառը բոցերի առաջացման և մարման պատճառների մասին։

# FREE RADICAL ACCUMULATION BEHAVIOUR IN THE COOL FLAMES OF BUTANES

#### T. R. SIMONIAN and A. H. MANTASHIAN

The stabilized cool flames of normal and isobutanes have been studied. It has been established that under these conditions a very high concentration ( $>10^{14}$  cm<sup>-3</sup>) of free radicals arises which is significantly higher than that observed in the slow oxidation reaction.

The concentration of radicals in the cool flames of these hydrocarbons was shown to increase continuously with the temperature, reaching a maximum at 350—360°, and then to decrease again. These results coincide with those concerning the stabilized propane cool flames. Consequently a conclusion was made as to the causes of cool flame formation and fading in hydrocarbons.

#### ЛИТЕРАТУРА

1. П. С. Гукасян, А. А. Манташян, Р. А. Саядян, Физика горения и взрыва, 12, 789 (1976).

2. А. А. Манташян, П. С. Гукасян, ДАН СССР, 234, 379 (1977).

3. А. А. Манташян, П. С. Гукасян, Р. А. Саядян, II Всесоюзное совещание по газофазной кинетике, Тезисы докладов, Черноголовка, 1978. А. А. Mantashyan, Р. S. Gookasyan, R. H. Sayadyan, V-th International Symp. on Combust. processes, Poland, 1977, p. 24.

4. Т. Р. Симонян, А. А. Манташян, Арм. хим. ж., 32, 691 (1979).

Т. Р. Симонян, А. А. Манташян, Физика горения и взрыва, 15, 165 (1979).

6. А. Б. Налбандян, А. А. Манташян, Элементарные процессы в медленных газофазных реакциях, Ереван, 1975.

7. А. А. Манташян, Г. Л. Григорян, А. С. Саакян, А. Б. Налбандян, ЦАН СССР, 204,

1392 (1972).

# XXXII, № 10, 1979

УДК 547.128+546,55

# ОПРЕДЕЛЕНИЕ КОНСТАНТЫ РАВНОВЕСИЯ И КОНСТАНТЫ СКОРОСТИ РАСПАДА ПРОМЕЖУТОЧНОГО КОМПЛЕКСА В РЕАКЦИЯХ ГИДРОПЕРЕКИСЬ КУМОЛА + + АМИНОСПИРТЫ + Me<sup>2+</sup>

#### С. К. ГРИГОРЯН

Ереванский государственный университет

Поступило 14 XI 1978

В водной среде в присутствии аминоспиртов и катнонов металлов переменной валентности гидроперекиси кумола и трет.бутила распадаются каталитически. Гомогенный каталитический распад гидроперекисей при этом обусловлен действием кинетически активного комплекса (АМе) <sup>2+</sup>. Данные каталитического распада гидроперекисей в присутствии аминных комплексов удовлетворяют выведенному нами кинетическому уравнению типа Михаэлиса—Ментен. Рассчитаны константы равновесия и распада промежуточного соединения между гидроперекисью и (АМе)<sup>2+</sup>. Из полученных данных следует, что эти комплексные соединения ведут себя как простой аналог ферментных катализаторов, приводящих к распаду гидроперекиси.

Рис. 4, табл. 3, библ. ссылок 8.

Гипотеза образования промежуточного кинепически активного комплексного соединения состава ГПК+А+Ме<sup>2+</sup> может быть применена для объяснения жинетических закономерностей гомогенного каталитического распада гидроперекисей кумола и трет.бутила (ГПК и ГПТБ) в присутствии амина (А) и Си<sup>2+</sup> (или Со<sup>2+</sup>) в водной среде. По нашим данным, в водных растворах моноэтаноламин (МЭолА) и Си<sup>2+</sup> (или Со<sup>2+</sup>) в отдельности не вызывают распада ГПК или ГПТБ, которые распадаются только в присутствии аминоспирта и Ме<sup>2+</sup>, причем в данном случае МЭолА не расходуется. Надо отметить, что, кроме МЭолА, способность к комплексообразованию проявляют также другие амины и аминоспирты как диэтаноламин (ДЭолА), триэтаноламин (ТЭолА) и др. [1—4].

Комплексный катализатор (E), состоящий из Me<sup>2+</sup> и A, можно считать простейшим аналогом фермента, разлагающего пидроперекиом.

Известно, что термодинамически устойчивым аминатам и аминатам меди или кобальта соответствует состав (MeA)<sup>2+</sup> [5]. Наши исследования показали (рис. 1), что распад ГПК подчиняется уравнению первого порядка по A, указывающего на то, что комплексом Е является

(MeA)<sup>2+</sup>. Образование промежуточного кинетического активного комплекса можно представить уравнением

$$E + nROOH \xrightarrow{K_1} [E \cdots nROOH]$$
 (1)

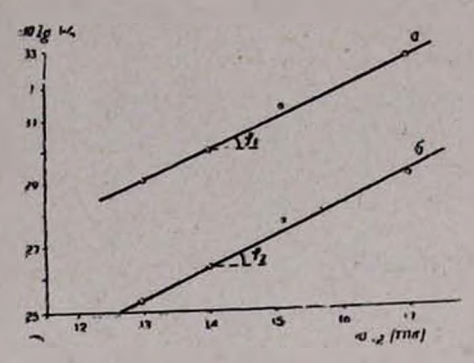


Рис. 1. Порядок реакции по гидроперекиси:  $a = [Д \ni onA]_0 = 0.3$ ,  $[Co^{2+}]_0 = 10^{-4}$  моль/л,  $t = 80^\circ$ ,  $n = tg \varphi_1 = 0.93$ ;  $G = [M \ni onA]_0 = 0.2$ ,  $[Cu^{2+}]_0 = 10^{-3}$  моль/л,  $t = 78^\circ$ ,  $n = tg \varphi_2 = 0.96$ .

Конечные продукты реажции образуются в результате распада этого комплекса

$$[E\cdots n ROOH] \xrightarrow{K_{pacer}} (MeA)^{2+} + конечн. продукты (2)$$

Для константы равновесия имеем

$$K = \frac{K_{-1}}{K_1} = \frac{[E \cdots nROOH]}{[ROOH]_p^n \cdot [E]_p^n}$$
(3)

Если  $E_0$  — начальная концентрация катализатора, то

$$[E] = [E]_0 - [E \cdots nROOH]$$

Тогда

$$K = \frac{[E \cdots nROOH]}{[ROOH]^n \cdot ([E]_n - [E \cdots nROOH])}$$

откуда

$$[E \cdots nROOH] = \frac{K \cdot [ROOH]^n \cdot [E]_n}{1 + K \cdot [ROOH]^n}$$
(4)

Если суммарная скорость распада исходной гидроперекиси или образования продуктов реакции обусловлена окоростью акта (2), то

$$W = -\frac{d [ROOH]}{dt} = K_{pace} \cdot [E \cdots nROOH]$$
 (5)

Из уравнения (4) и (5) получается

$$W = K_{\text{pacn.}} \cdot \frac{K \cdot [\text{ROOH}]^n \cdot [E]_n}{1 + K \cdot [\text{ROOH}]^n}$$
 (6)

В дальнейшем индекс "р" будет опущен.

Исходная концентрация комплексного катализатора  $[E]_0$  не может быть больше, чем концентрация иона металла ( $Cu^{2+}$  или  $Co^{2+}$ ). Следовательно, в уравнении (6) можно  $[E]_0$  выразить через исходную концентрацию иона металла, т. е.  $[Me^{2+}]$ , имея в виду, что значения констант стойкости комплексов (AMe)<sup>2+</sup> значительно больше единицы [8]. Тогда получим уравнение типа Михаэлиса—Ментен [6,-7] вследующей форме:

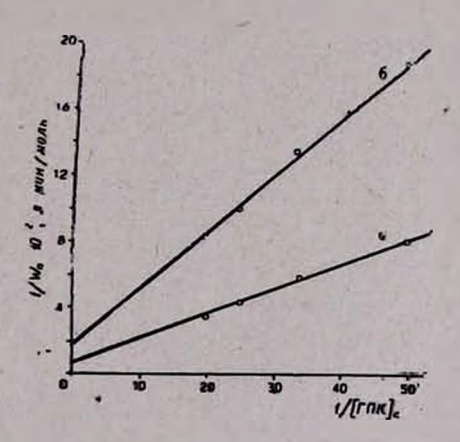
$$W = \frac{K_{\text{pacm.}} \cdot K \cdot [\text{ROOH}]^n \cdot [\text{Me}^{2+}]}{1 + K \cdot [\text{ROOH}]^n}$$
 (7)

Преобразовав уравнение (7) и учтя, что, согласно нашим кинетическим данным, n=1 (рис. 1), получим

$$\frac{1}{W} = \frac{1}{K_{\text{pacn.}} \cdot K \cdot [\text{ROOH}] \cdot [\text{Me}^{2+}]} + \frac{1}{K_{\text{pacn.}} \cdot [\text{Me}^{2+}]}$$
(8)

Нами использовано уравнение (8) для графического расчета K и  $K_{\rm pacn.}$  в координатах  $1/W-1/{\rm ROOH}$  для реакций ГПК с комплексами МЭолА, ДЭолА, ТЭолА с  ${\rm Cu}^{2+}$  или  ${\rm Co}^{2+}$ . Во избежание осложнений нами взяты начальные скорости ( $W_0$ ) реакций.

Рис. 2. Зависимость  $1/W_0$  от  $1/[\Gamma\Pi K]_0$  для систем:  $a - \Gamma\Pi K + M$ Эол $A + Cu^{2+}$ ,  $\delta - \Gamma\Pi K + Д$ Эол $A + Cu^{2+}$ .



Расчет К и  $K_{\rm pscn}$  для реакций: а)  $\Gamma\Pi K + (M \partial o \Lambda A C u)^{2+}$ . Ввиду того, что в отсутствие  $Cu^{2+}$  нет непосредственной реакции между  $\Gamma\Pi K$  и моноэтаноламином,  $W_0$  относится только к каталитическому распаду  $\Gamma\Pi K$  под действием  $(M \partial o \Lambda A C u)^{2+}$ . Данные по зависимости  $W_0$  от  $[\Gamma\Pi K]_0$  приведены в табл. 1.

Таблица 1

[МЭолА] $_0$ =0,2, [Си $^{2+}$ ] $_0$ =10 $^{-3}$  моль/л, t=78°

[ГПК] $_0$ ·10 $^2$ , моль/л 2 3 4 5  $W_8$ ·10 $^3$ , моль/л·мин 1,25 1,7 2,40 2,9 1/ $W_8$  800 599 439 341

Как видно из рис. 2, данные табл. 1 и 2 удовлетворяют уравнению (8). Одновременно из рис. 2 (кр. а) следует:

$$\frac{1}{K_{\text{pacm.}} \cdot [\text{Cu}^{2+}]_0} = 55$$
 и  $\frac{1}{K_{\text{pacm.}} \cdot K \cdot [\text{Cu}^{2+}]_0} = 15$ 

откуда  $K_{\text{pacn.}} = 18,2$  мин<sup>-1</sup>, K = 3,7 л/моль (при 78°).

6)  $\Gamma \Pi K + (\mathcal{A} \partial o A C u)^{2+}$ . Данные относительно скоростей расходов ГПК в присутствии и в стсутствие купри-иона приведены в табл. 2, где

$$W_{\text{ket.}}^0 = W_{\text{HCEST.}+\text{ket.}}^0 - W_{\text{Heket.}}^0$$

Таблица 2  $[\mathcal{A} \ni o_A A]_a = 0.3$ ,  $[Cu^{2+}]_a = 10^{-4} \text{ Monb/n}$ ,  $t = 80^\circ$ 

	ГПК+ДЭолА+Си2+	ГПК + ДЭолА	ГПК + (ДЭолАСи) <sup>2+</sup>			
[ГПК] <sub>0</sub> -10 <sup>2</sup> , моль/л	W <sup>0</sup> некат.+кат. · 10 <sup>5</sup> , моль/л · мин	W <sup>1</sup> некат 10 <sup>5</sup> , моль/л-мин	W <sup>0</sup> <sub>кат.</sub> · 105, моль/л · мин	1/W <sub>Kat.</sub> ·10 <sup>-2</sup>		
2	72	18,3	54	18,6		
3	103	28,3	75	13,4		
4.	138	35,0	103	9,7		
5	175	52,0	123	8,2		

На основании данных табл. 2 составлен рис. 2 (кр. б), из которого следует, что

$$\frac{1}{K_{\text{pacn.}} \cdot [\text{Cu}^{3+}]_0} = 160$$
 и  $\frac{1}{K_{\text{pacn.}} \cdot K \cdot [\text{Cu}^{2+}]_0} = 34$ 

откуда  $K_{\text{pacn.}} = 62,5$  мин $^{-1}$ , K = 4,7 л/моль (при  $80^{\circ}$ ) в)  $\Gamma\Pi K + (T \partial o \Lambda A M e)^{2+}$ .  $\Gamma\Pi K$  распадается как в отсутствие, так и в присутствии триэтаноламина. Скорость расхода ГПК по каталитической реакции (  $W_{\rm кат.}^0$ ) нями определена как разность суммарной  $(W^0_{{\scriptscriptstyle{\mathsf{Hevar.+kar.}}}})$  и некаталитической  $(W^0_{{\scriptscriptstyle{\mathsf{Hexar.}}}})$  реакций, как и в случае ДЭолА. Соответствующие данные приведены в табл. 3, на основании которых составлен рис. 3.

Таблица 3 Зависимость W от исходной концентрации ГПК для реакций  $\Gamma\Pi K + (ТЭолАСи)^{2+}$  и  $\Gamma\Pi K + (ТЭолАСо)^{2+}$ 

	[T3	олА] <sub>0</sub> =	0,2 мол моль/л	$t_b/\Lambda$ , $t=60^\circ$	[T $\Theta$ onA] <sub>0</sub> =0.05 MOAb/A, [Cu <sup>2+</sup> ] <sub>0</sub> =10 <sup>-3</sup> MOAb/A, t=80°			
{ГПК] <sub>0</sub> :10 <sup>2</sup> , моль/л	1,8	3	4	5	3	4,2	5	6,0
[ГПК] <sub>6</sub> -104; моль/л-мин 1/W <sub>кат.</sub> -10 <sup>-2</sup>	2,9 34,5	4,4 22,7	6,4 15,6	8,2 12,5	2,45 40,8	3,20 31,2	4,0 25,0	4,7 21,2

Из графического анализа рис. 3 получаются: a) для ГПК + ТЭолА + Со<sup>2+</sup>

$$\frac{1}{K_{\text{pacn.}} \cdot [\text{Co}^{2+}]_0} = 150$$
 и  $\frac{1}{K_{\text{pacn.}} \cdot K \cdot [\text{Co}^{2+}]_0} = 60$ 

откуда  $K_{\text{расп.}} = 66,7$  мин $^{-1}$ , K = 2,5 л/моль (при  $60^{\circ}$ ).

б) Для  $\Gamma \Pi K + T Э ол A + Cu^{2+}$ 

$$\frac{1}{K_{\text{pacn.}} \cdot [\text{Cu}^{2+}]_0} = 250$$
 и  $\frac{1}{K_{\text{pacn.}} \cdot K \cdot [\text{Cu}^{2+}]_0} = 116,$ 

откуда  $K_{\text{р асп.}} = 4$  мин $^{-1}$ , K = 2.2 л/моль (при  $80^{\circ}$ ).

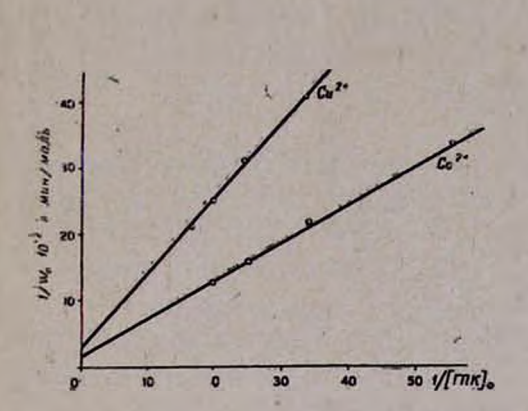


Рис. 3. Зависимость  $1/W_0$  от  $1/[\Gamma\Pi K]_0$  для систем:  $\Gamma\Pi K + T \ni onA + Co^{2+}$  и  $\Gamma\Pi K + T \ni onA + Cu^{2+}$ .

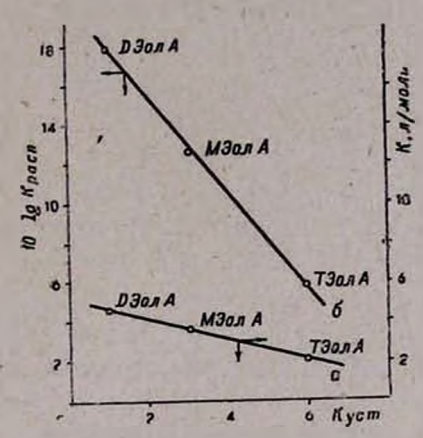


Рис. 4. Корреляционные зависимости между: a — константой равновесия и константой устойчивости, b — логарифмом константы распада и константой устойчивости.

Интересно отметить, что существует некоторая корреляция (рис. 4, кр. a) между K и  $K_{\rm ycr.}$  (константой устойчивости комплексообразования между A и  $Me^{2+}$ ); вначения  $K_{\rm ycr.}$  для комплексов  $Cu^{2+}$  с моно-, ди- и триэтаноламинами, соответственно, составляют [8]:  $3\cdot 10^{18}$ ,  $1\cdot 10^{16}$  и  $6\cdot 10^{16}$ . Кроме того, имеется корреляция также между  $K_{\rm ycr.}$  и 1g  $K_{\rm pacn.}$  (рис. 4, кр.  $\delta$ ).

ԿՈՒՄՈԼԻ ՀԻԴՐՈՊԵՐՕՔՍԻԴ+ԱՄԻՆՈՍՊԻՐՏՆԵՐ+Me²+ ՌԵԱԿՑԻԱՆԵՐՈՒՄ ՄԻՋԱՆԿՅԱԼ ԿՈՄՊԼԵՔՍՆԵՐԻ ԱՌԱՋԱՑՄԱՆ ԵՎ ՔԱՑՔԱՑՄԱՆ ՀԱՍՏԱՏՈՒՆՆԵՐԻ ՀԱՇՎԱՐԿՆԵՐ

Ս. Կ. ԳՐԻԳՈՐՏԱՆ

Հրային միջավայրում ամինոսպիրտների և փոփոխական վալենտակավյունուկ ևուգրեր մալկողակատ ընտաներ դոժմնովոտկի փղեմրատեն մալկում։ դրրատոյին կատունենաասերրն ատեսաժումը արտուսանրը։

դրուսանին կատունենաասերը կարանասեսւմը արտուսանինը հայծավող ֆրևդրուսանին կարանի եսւան շիժեսապիս արտուսանին արտուս

# DETERMINATION OF FORMATION AND DECOMPOSITION CONSTANTS OF THE INTERMEDIATE COMPLEXES IN THE CUMENE HYDROPEROXIDE + AMINOALCOHOLS + Me<sup>2</sup> \* REACTION SYSTEM

#### S. K. GRIGORIAN

Cumene or tert-butyl hydroperoxides decompose catalytically in an aqueous medium in the precence of aminoalcohols and cations of transition metals. The homogeneous catalytic decomposition of the hydroxides is conditioned by the action of the kinetically active complex  $(MeA)^{2+}$ . The values of the equilibrium and decomposition constant of the reactions of some intermediate complexes have been determined at various temperatures. It has been concluded that these complexes behave as enzymatic catalysts in the hydroperoxide decomposition.

#### ЛИТЕРАТУРА

- С. К. Григорян, Р. П. Мхитарян, Л. Г. Мелконян, Арм. хим. ж., 28, 10 (1975).
- 2. С. К. Григорян, Арм. хим. ж., 29, 663 (1976).
- 3. С. К. Григорян, Н. М. Бейлерян, Арм. хим. ж., 30, 634 (1977).
- 4. С. К. Григорян, Арм. хим. ж., 32, 357 (1978).
- 5. Я. Бьеррум, Образование аминов металлов в водном растворе, ИЛ, М., 1961, стр. 108, 206.
- 6. Л. Гаммет, Основы физической органической химии, ИЛ, М., 1972, стр. 100, 105.
- 7. L. Michaelis, M. L. Menten, Blochem. Z., 49, 333 (1913).
- 8. R. Flannery, B. Ke, M. Grleb, Tr. vttch, J. Am. Chem. Soc., 77, 2996 (1955).

#### 

XXXII, № 10, 1979

УДК 541.161

# ЛИНЕЙНЫЙ ИНФРАКРАСНЫЙ ДИХРОИЗМ НЕКОТОРЫХ СУЛЬФАНИЛАМИДОВ В ОРИЕНТИРОВАННОЙ ПОЛИВИНИЛАЦЕТАТНОЙ МАТРИЦЕ

#### Р. С. АВОЯН, А. К. ДАДИВАНЯН н А. В. МУШЕГЯН

Ереванский государственный университет

Поступило 25 V 1979

Исследован инфракрасный дихронзм *п*-аминобензойной кислоты и некоторых сульфаниламидов. Установлено, что сульфаниламиды обладают существенным ИК дихроизмом, а у *п*-аминобензойной кислоты последний выражен слабее.

Рис. 1, табл. 1, библ. ссылок 4.

Биологическая активность систем обусловлена высокой реакционной способностью ряда ферментов. Соглаоно одной из гипотез, необходимым условием ферментативной активности является ориентация молекул субстрата относительно фермента [1, 2]. Для установления корреляции ориентации макромолекул и низкомолекулярных соединений следует ориентировать их относительно направления преимущественной ориентации макромолекул. Ферменты являются глобулярными белками с низкой степенью асимметрии формы, поэтому ориентация их в растворе практически невозможна, а высокоэластическое состояние у нативных белков не осуществляется. В связи с этим исследование корреляции полимерных цепей и молекул растворителя проводилось на модельных системах. При этом выбор полимеров не определялся жесткими условиями, т. к., во-первых, поверхность фермента (за исключением занимающего небольшую часть его поверхности активного центра), относительно которой ориентируются низкомолекулярные соединения, является достаточно гладкой; во-вторых, на основании исследований ближнего ориентационного порядка во многих системах полимер-растворитель было показано, что химическое строение полимеров влияет на корреляцию ориентации полимера и растворителя незначительно [3].

Сульфаниламидные препараты широко используются в медицинской практике как активные противомикробные средства. Они блокируют биохимические системы бактерий, связывающих *п*-аминобензойную кислоту. Тем самым эти препараты нарушают течение обменных процессов, в результате которых микроорганизмы не получают для своего роста фолиевую кислоту и другие вещества, что приводит к остановке роста и

размножения микроорганизмов. По своему химическому строению сульфаниламиды близки к *п*-аминобензойной кислоте [4]. Так как сульфаниламиды блокируют ферменты микроорганизмов, с которыми связывается *п*-аминобензойная кислота, то, по-видимому, молекулы их будут также связываться с этими ферментами и, следовательно, ориентироваться относительно них. В связи с этим представляет интерес исследовать ориентацию сульфаниламидных препаратов и *п*-аминобензойной кислоты относительно фермента.

Таблица

Частоты скелетных колебаний бензольного кольца и дихроичные отпошения сульфаниламидов и п-аминобензой кислоты в ориентированной ПВА матрице

	NH <sub>3</sub>	so	,R			
- 15		KO	стоты ск пебаний ( го кольц	бензоль-		
Соединение	Формула	чнстое веще- ство. в/м	образец рас- тянут в парал- лельном на- правлении	образец растя- нут в перпен- дикулярном направлении	$R = \frac{D_{\parallel}}{D_{\perp}}$	$\left  \frac{R-1}{R+2} \right $
1	RNH <sub>3</sub>	1615	1610	1610	0,751	0,091
II	RNH-US	1612	1610	1610	0,772	0,082
Ш	RNH_N_CH <sub>3</sub>	1610	1600	1600	0,860	0,048
IV	RNH—S—C <sub>2</sub> H <sub>5</sub>	1615	1610	1610	0,860	0,048
v	1	1610	1605	1605	0,874	0.044
VI	RNHC NH	1615	1605	1605	0,681	0,119
VII	C.O.	1610	1605	1605	0,853	0,052
VIII	NH <sub>3</sub> COOH	615	1610	1610	1,047	0,015

Как указано выше, такие исследования целесообразно проводить с использованием модельных сосдинений. В настоящей работе в качестве модельного полимера был использован поливинилацетат (ПВА). Исследована ориентация молекул сульфаниламидов—стрептоцида, норсульфазола, сульфадимезина, этазола, уросульфана, которые относительно легко всасываются и быстро накапливаются в крови и органах, но з значительном количестве выделяются из организма. Были исследованы трудно всасываемые препараты—сульгин и фталазол [4], а такжел-аминобензойная кислота.

Образцы получали выпариванием из раствора, содержащего 95% диметилформамида, 4,375% ПВА и 0,625% исследуемого вещества. Пленки толщиной 20—40 мк получали на ртутной подложке. Образцы подвергали растяжению в 7,5 раза. Исследования проводили на ИК спектрофотометре UR-20, снабженном поляризатором, состоящим из селеновых пластинок.

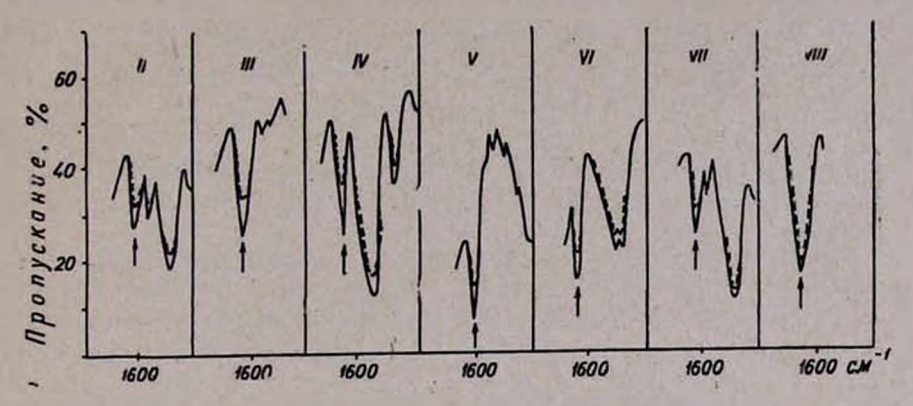


Рис. Спектры поглощения полиризованного излучения систем: II — норсульфазол, III — сульфадимезин. IV — этазол, V — уросульфан, VI — сульгин, VII — фталазол, VIII — п-аминобензойная кислота в ПВА (табл.). Электрический вектор излучения параллелен (----) и перпендикулярен (-----) направлению растяжения образца.

Для исследования ориентации сульфаниламидов и *п*-аминобензойной кислоты относительно ПВА были выбраны полосы, соответствующие скелетным колебаниям бензольного кольца 1605—1615 *см*<sup>-1</sup>. Частоты скелетных колебаний бензольного кольца и дихроичные отношения

$$R = \frac{D_{\parallel}}{D_{\perp}}$$
, где  $D_{\parallel}$  и  $D_{\perp}$  —оптическая плотность, в случаях, когда на-

правление электрического вектора излучения соответственно параллельно и першендикулярно направлению растяжения образца, приведены в таблице. ИК спектры поглощения норсульфазола (II), сульфадимезина (III), этазола (IV), уросульфана (V), сульгина (VI), фталазола (VII) и п-аминобензойной кислоты (VIII) (табл.) представлены на рисунке, из которого видно, что все сульфаниламиды (вещества V—VII) обладают существенным инфракрасным дихроизмом, свидетельствующим об-

ориентации исследуемых соединений относительно макромолекулярных цепей, а у *п*-аминобензойной кислоты (VIII) ИК дихронзм выражен слабее. Этот результат не является неожиданным. Действительно, чтобы блокировать активные центры, на которых происходит биохимическая реакция с *п*-аминобензойной жислотой, молекулы ингибиторов должны взаимодействовать с активными центрами достаточно сильно, что должно привести к существенной ориентации этих молекул относительно фермента и соответственно в модельных полимерах.

# ՍՈՒԼՖԱՆԻԼԱՄԻԴՆԵՐԻ ԻԿ ԴԻՔՐՈՒԶՄԸ ԿՈՂՄՆՈՐՈՇՎԱԾ ՊՈԼԻՎԻՆԻԼԱՑԵՏԱՑԱԵՄ ՄԱՏՐԻՑԱՅՈՒՄ

Ռ. Ս. ԱՎՈՑԱՆ, Ա. Կ. ԴԱԴԻՎԱՆՑԱՆ L Ա. Վ. ՄՈՒՇԵՂՑԱՆ

Ուսումնասիրված է մի շարք սուլֆանիլամիդների ԻԿ դիքրոիզմը։ Ցուլց է տրված, որ վերջիններս կողմնորոշված են պոլիվինիլացետատային շղթաւների նկատմամը։

# INFRARED DICHROISM OF SULPHANILAMIDES IN ORIENTED POLYVINYLACETATE SAMPLES

R. S. AVOYAN, A. K. DADIVANIAN and A. V. MUSHEGHIAN

By the method of infrared dichroism it has been shown that sulphanilamides are oriented with respect to polyvinylacetate chains.

#### ЛИТЕРАТУРА

- 1. Л. А. Баюменфельд, Проблемы биологической физики, Изд. «Наука», 1977.
- A. Dafforn, D. E. Koshland, Proc. Nat. Acad. Sci. USA, 68, 2463 (1971).
   A. К. Дадиванян, Г. А. Айрапетян, Высокомол. соед., 20Б, 51 (1978).
- 4. М. Д. Машковский, Лекарственные средства, Изд. «Медицина», М., 1967.

#### 

XXXII. № 10, 1979

#### НЕОРГАНИЧЕСКАЯ И АНАЛИТИЧЕСКАЯ ХИМИЯ

УДК 666.973.2.017:620.197

# АНОДНОЕ ПОВЕДЕНИЕ СТАЛИ В ЦЕМЕНТНОМ КАМНЕ, СОДЕРЖАЩЕМ РЕАКЦИОННОСПОСОБНЫЕ ВУЛКАНИЧЕСКИЕ ПОРОДЫ

#### Г. А. ГАСПАРЯН и В. Н. ОВЧИЯН

Армянский НИИ строительста и архитектуры, Институт общей и неорганической химии АН Армянской ССР, Ереван

Поступнло 10 IV 1979

Путем снятия поляризационных кривых на арматурной стали исследовано влияние реакционноспособных вулканических пород на пассивирующую способность цементного камия. При прочих равных условиях с увеличением содержания в цементном камие реакционноспособной породы наблюдалось увеличение скорости коррозии при анодной поляризации. Получены данные о пассивирующей способности легкого и тяжелого бетонов с малым расходом цемента на образцах 12-летнего возраста.

Рис. 2, табл. 1, библ. ссылок 3,

Анодное поведение арматурной стали в легких бетонах на пористых заполнителях месторождений Армянской ССР не изучалось. Между тем, взаимодействие реакционноспособного заполнителя, особенно его пылевидной фракции, со свободной известью бетона в отдельных случаях может приводить к депассивации стали. Поэтому изучение поведения стали в бетонах с реакционноспособным заполнителем имеет практическое и теоретическое значение.

Пассивность стали в плотном бетоне обеспечивается контактом ее с поровым электролитом, имеющим высокую щелочность. Как показали исследования [1], в такой среде контролирующим электродным процессом является анодный. Поэтому практически выгодным путем предотвращения коррозии стали в цементных бетонах считается применение способов, обеспечивающих поровому электролиту рН ≥ 11,8.

Щелочность электролита может быть нарушена, в частности, реакционноспособным заполнителем при тепловой обработке бетона.

Особенностью природных заполнителей вулканического происхождения месторождений Армянской ССР является содержание в них реакционноспособных SiO<sub>2</sub> и Al<sub>2</sub>O<sub>3</sub>. При изучении взимодействия заполнителей с Ca(OH)<sub>2</sub> нами было установлено, что после тепловой обработ-

ки рН водных вытяжек некоторых цементных растворов характеризовалась величиной 11,7÷11,8. Следовательно, некоторые виды легких бетонов могут не обеспечивать пассивности стальной арматуры уже в исходном состоянии.

Поэтому представляется важным выявить поведение стали в цементном камне, содержащем пылевидную фракцию (0—0,14 мм) реакционно-способных заполнителей на образцах, прошедших тепловую обработку. В качестве вяжущего применялся клинкерный цемент Араратского завода. Заполнитель пылевидной фракции получали просеиванием природных песков из литоидной пемзы и кармрашенского шлака. Сухая смесь содержала 10, 20, 30, 40% заполнителя от объема вяжущего. Тесто затворялось водопроводной водой при В/Ц=0,3.

Анодные поляризационные кривые стали снимали на специально изготовленных образцах диаметром 30 мм н высотой 120 мм. По продольной оси образца располагался электрод из арматурной стали диаметром 4 мм таким образом, чтобы толщина защитного слоя до торца электрода была не менее толщины слоя до боковой поверхности. Поверхность электрода перед формованием образца тщательно зачищалась и обсажиривалась. После суточной выдержки производили тепловую обработку образцов по режиму: подъем температуры—2 часа, прогрев при 85°—6 час.

Перед проведением электрохимических измерений в соответствии с методикой [2] образцы насыщались водой в вакууме для обеспечения постоянства площади рабочего электрода.

Подготовленный образец устанавливали в электрохимическую ячейку, электролитический ключ подводился к наружной поверхности образца, затем с помощью потенциостата П—5827 анодно поляризовали образец в автоматическом режиме со скоростью 1,2 в/час, измеряя при этом величину тока. В жачестве электрода сравнения использовали хлорсеребряный электрод.

Результаты представлены в виде графиков, на которых кривые построены по усредненным данным измерений, проведенных на шести параллельных образцах. Состояние стали оценивали по плотности тока (j) при потенциале +300 мв, руководствуясь следующими критериями [2]: бетон хорошо защищает сталь при j, не превышающей 10 мкА/см², недостаточно защищает сталь при j в пределах 10—25 мкА/см² и не защищает ее при j выше 25 мкА/см².

Поляризационные жривые на рис. 1 показывают, что пылевидная фракция заполнителя исследуемых вулканических пород может существенно нарушить пассивирующую способность цементного камня по отношению к стали. Несмотря на некоторое различие в реакционной способности двух исследуемых пород, обнаруживаемое химическим анализом, оно, по-видимому, не имеет определяющего значения при электрокимических измерениях. Анализируя ход поляризационных кривых, приходим к выводу, что для обеспечения пассивности стали цементный камень должен содержать не более 20% пылевидной фракции.

Поскольку некоторые виды цементов содержат гидравлические добавки, связывающие гидроокись кальция, необходимо, чтобы в результате суммарного взаимодействия добавки и пылевидной фракции мелкого заполнителя с вяжущим щелочность среды не понижалась до критической.

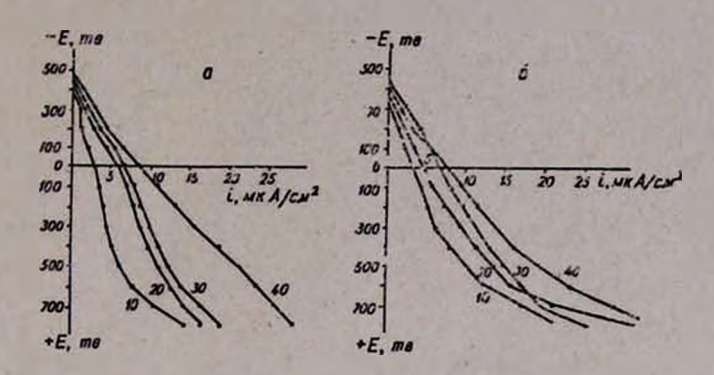


Рис. 1. Анодные поляризационные кривые стали в пропаренном цементном камне, содержащем реакционноспособную вулканическую поролу в виде пыли фракции 0-0.14 мм: a — литоидная пемза,  $\delta$  — карырашенский шлак (цифрами указано содержание в процентах по объему).

При работе железобетона в газовой влажной среде понижение рН жидкой фазы бетонов происходит также из-за взаимодействия гидрата окиси кальция цементного камня с кислыми газами, в частности с двуокисью углерода. Такие условия в атмосфере реализуются практически постоянно, и, следовательно, бетоны, содержащие малое количество свободного Ca(OH)<sub>2</sub>, быстрее нейтрализуются. В связи с этим представляют интерес результаты комплеконых определений свойств двух видов бетонов, хранившихся 12 лет в комнатных условиях. Были исследованы образцы 4×4×12 см с электродами. Результаты испытаний представлены на рис. 2 и в таблице.

За указанный пернод оба бетона нейтрализовались на толщину защитного слоя, что обнаруживалось по взаимодействию фенолфталенна со свежим сколом бетона. Это же подтверждено определением рН водных вытяжек и количества свободной Са (OH)<sub>2</sub>, оставшейся в бетонах.

Области расположения анодных поляризационных кривых указывают на то, что в тяжелом бетоне плотность тока может превышать 10 мкА/см² при потенциале +300 мВ, и, по принятому критерию [2], сталь в этом бетоне недостаточно защищена от коррозии, а в образцах из легкого бетона плотность тока превышает 25 мкА/см² и, следовательно, бетон не защищает сталь от коррозии. Различие в степени защиты стали в исследуемых бетонах объясняется, во-первых, тем, что в легком бетоне в исходном состоянии было меньше свободного Ca(OH)2 из-за его связывания реакционным заполнителем, и, во-вторых, тем, что электрическое сопротивление легкого бетона было существенно ниже.

Опыты показали, что анодное поведение стали зависит от содержания в цементном камне пылевидной фракции реакционноспособного заполнителя. При содержании в цементном камне более 20% пылевидной фракции заполнителя анодное торможение существенно понижается, что неблагоприятно для арматурной стали.

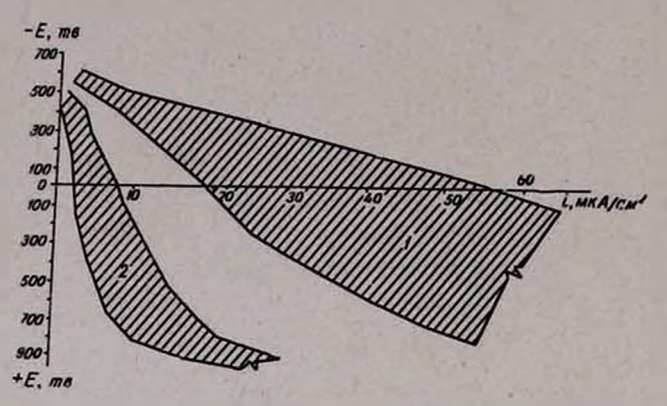


Рис. 2. Области расположения анодных поляризационных кривых стали в легком (1) и тяжелом (2) бетонах, хранивщихся 12 лет в комнатных условиях.

Таблица: Содержание Ca(OH)<sub>2</sub>, CO<sub>2</sub>, величина рН в бетонах, хранившихся 12 лет в комнатных условиях

на					я тона,	лоще- массе,	#IC	0/0	от Ц
Обознач.	цемент: пе- сок: щебень	II, KZ/M³	В/Ц	расчетн. Са(ОН) <sub>2</sub> , °/, от Ц		Водопогл ние по м °/0. [3]	рН водной вытяжки	Ca(OH),	% "00
1 2	1:2,42:4,26 1:4,26:7,26	175 170	1,4	9,5 9,5	1640 2345	16.8	10,85 11,30	0,05 0,26	21,23 30,55

В бетонах с малым расходом цемента, содержащих реакционноспособный залолнитель, процесс связывания Са (ОН) 2 может предопределить худшие защитные свойства бетона по отношению к арматуре уже в исходном состоянии. В дальнейшем при работе во влажной воздушной атмосфере эти бетоны в результате нейтрализации быстро теряют защитные свойства и, следовательно, процесс коррозии арматуры будет протекать с большой скоростью. Влияние заполнителя пылевидной фракции необходимо учитывать с таким расчетом, чтобы оно не понижало защитных свойств бетона.

# ՊՈՂՊԱՏԻ ԱՆՈԴԱՅԻՆ ՎԱՐՔԱԳԻԾԸ ՌԵԱԿՑԻՈՆ ՀԱՏԿՈՒԹՅՈՒՆ ՈՒՆԵՑՈՂ ՀՐԱԲԽԱՑԻՆ ԱՊԱՌՆԵՐ ՊԱՐՈՒՆԱԿՈՂ ՑԵՄԵՆՏԱՅԻՆ ՔԱՐՈՒՄ

#### Դ. Հ. ԳԱՍՊԱՐՑԱՆ և Վ. Ն. ՕՎՉԻՅԱՆ

Պողպատյա ամրաններից բևեռացման կորերի ստացման միջոցով հետաղոտված է ռեակցիոն հատկություններով օժտված հրաբխային ապարների աղդեցությունը ցեմենտաքարի պասիվացնող ընդունակության վրա։

Միանման պայմաններում անոդային բևեռացման ժամանակ ցեմենտաբարի մեջ ռեակցիոն Հատկություն ունեցող ապարների քանակության միաց-

ման դեպքում նկատվում է կորոզիայի արագության աճ։

12-ամյա նմուշների ուսումնասիրության հիման վրա ստացված են տըվյալների ցեմենտի քիչ ծախս ունեցող թեթև և ծանր բետոնների պասիվացնող ընդունակության վերաբերյալ։

# THE ANODIC BEHAVIOUR OF STEEL IN THE CEMENT STONE CONTAINING REACTIVE VOLCANIC ROCKS

#### G. H. GASPARIAN, and V. N. OVCHIAN

The influence of the vulcanic reactive rocks on the passivation properties of the cement stones has been studied by means of plotting polarization curves of steel reinforcement.

Under all other equal conditions an increase in the corrosion rate was observed during the anodic polarization when the reactive rock contents were increased in the cement stones. Data have been obtained concerning the passivation abilities of light and heavy concretes with little cement expenses on the basis of 12-year old models.

#### ЛИТЕРАТУРА

- 1. В. А. Бабушкин, Физико-химические процессы коррозии бетона и железобетона, Стройиздат, М., 1968.
- 2. Методика снятия анодных поляризационных кривых стали в бетоне, Госстрой СССР, НИИЖБ, М., 1977.
- 3. ГОСТ 12730—67 Бетон тяжелый, Методы определения объемной массы, плотности, пористости и водопоглощения.

XXXII, № 10, 1979

УДК 666.015.42

# ФИЗИКО-ХИМИЧЕСКИЕ ИССЛЕДОВАНИЯ ПРИРОДНОГО, ВСПУЧЕННОГО ПЕРЛИТА И ФИЛЬТР-ПОРОШКА «АРАГАЦ»

### Р. В. МАНУКЯН н Д. Ц. ГАБРИЕЛЯН

Институт общей и неорганической химии АН Армянской ССР, Ереван Поступило 29 XII 1978

Методами дериватографии, кристаллооптическим, электронно-микроскопическим, а также химическим анализом исследованы перлит Арагацкого месторождения, вспученный продукт и фильтр-порошок типа «Арагац».

Рис. 3, табл .4, библ. ссылок 4.

В литературе нет данных о химическом составе перлитовых пород с точки зрения их использования в качестве исходного сырья для получения вспомогательного фильтрующего порошка, применяемого для фильтрации различных химических растворов, пищевых продуктов и т. п. [1—3].

В промышленности к фильтрующим порошкам предъявляются следующие требования: химическая устойчивость в давной среде, незагрязняемость, неокрашиваемость данного раствора примесями порошка.

Для подробного изучения однородности арагацкого перлита нами взяты пробы из карьера (из отдельных мест и слоев). Для наглядности в табл. 1 приводится усредненный химический состав шести проб перлита Арагацкого месторождения.

Таблица I Химический состав перлита Арагацкого месторождения

	Химический состав, вес °/ <sub>0</sub>										
SIO <sub>2</sub>	Al <sub>2</sub> O <sub>3</sub>	TIO,	Fe <sub>2</sub> O <sub>3</sub>	CaO	MgO	МпО	K <sub>2</sub> O+Na <sub>2</sub> O	влага при 110°	п. п. п.		
72,31	13,32	0,15	0,73	1,71	0,20	0,028	7,34	0,20	4,45		
72,14	13,34	0,16	0,73	1,42	0,20	0,031	7,34	0,50	4,25		
73,52	13,78	0,15	0,72	1,47	0,17	0,024	7,39	0,39	3,26		
73,52	13,39	0,16	0,73	0,75	следы	0,025	7,40	0.98	3,00		
71,84	13,45	0,17	0,63	1,71	следы	0,047	7,34	0,16	4,22		
72,31	13,13	0,17	0.75	1,75	следы	0,031	7,31	0,65	3,70		

Основываясь на данных таблицы о количестве SiO<sub>2</sub> в породе, можно судить о кислотостойкости и пригодности его для производства фильтрующих материалов. Определены также химическая устойчивость природного, вспученного перлита и на его основе фильтр-порсшка «Арагац» по ГОСТ 473—53, которая составляет 98—99,5%.

Важным фактором при выборе указанного перлита в качестве сырья для получения фильтрующего порошка является содержание окиси железа (0,63—0,75%). Такое малое ее содержание в исходном сырье обусловливает получение фильтр-порошков с небольшим содержанием окиси железа, растворимой в кислотах.

Высокое содержание щелочных окислов Na<sub>2</sub>O, K<sub>2</sub>O (до 8,0%) благоприятно влияет на процесс термической сбработки: снижает температуру размягчения породы и поверхностное натяжение расплава, что положительно сказывается на температуре (850—1100°) и коэффициенте вспучивания (15—25 раз), маленькой объемной насыпной массе

(табл. 2), плотности, водопоглощении, пористости (открытая, закрытая) вспученного перлита (табл. 3), что отражается в дальнейшем на свойствах фильтрующих порошков.

Характерной особенностью исследуемого перлита является высокое содержание стекловидной фазы (до 97%/0).

Минералогический состав перлита ( $\frac{0}{0}$ ): вулканическое стекло — 95, плагиоклаз — 2,5, биотит--0,2-0,4, кварц-0,98, рудный минерал — 0,5.

Химический и спектральный анализы показали, что содержание окрашивающих окислов в перлите до и после вспучивания не меняется.

Методами дифференциально-термического и электронно-микроскопического анализов исследованы процессы, протекающие при вспучивании природного перлита.

В соответствии с данными дериватографического иссле-

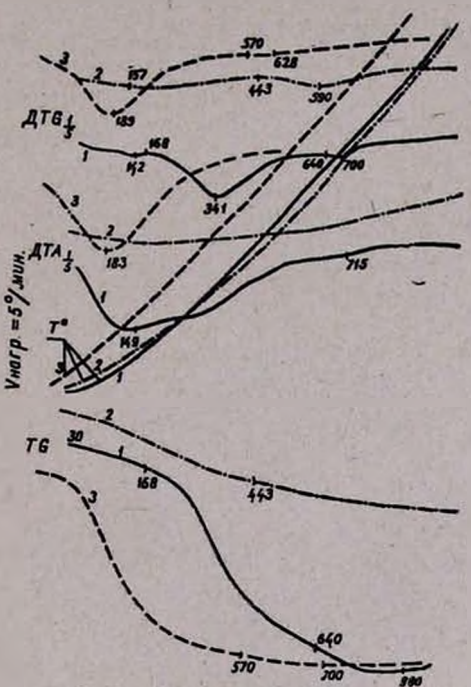


Рис. 1. Дериватограммы: 1 — перлита, 2 — вспученного перлита, 3 — фильтрпорошка типа "Арагац". ДТА — дифференциальная кривая нагревания, ДТО — 
дифференциальная кривая потери веса, 
Т° — температурная кривая нагревания, 
ТС — простая кривая потери веса.

дования на приборе системы Паулик, Паулик и Эрдей (рис. 1) на кривых нагревания сырого перлита отмечаются отчетливо выраженные эндотермические эффекты при 145, 340 и 715°, сопровождающиеся потерей веса,

обусловленные, по-видимому, дегидратацией несвязанной и адсорбированной воды (145, 340°), декарбонизацией и разложением сульфитов (715°).

Весовые потери соответствуют процентному содержанию минералогических компонентов, составляя при этом в интервале температур 30—170° 0,36: 170—640° 3,9; 880—1000° 0,08.

Таблица 2 Физическая характеристика вспученного перлита в зависимости от температуры вспучивания

Физическая характеристика	Сырой перлиг (фракция менсе 1,5 мм) температура вспучивания, °C								
THOMPSELAN Napakiepiteinka	900	1000	1050	1100	1200				
Объемная насыпная масса, кг/мэ	110,1	71,6	52.1	51,4	50,5				
Коэффициент вспучивания	11,1	17,3	23,3	22,1	21,2				

Кривые нагревания вспученного перлита показывают, что они не имеют ярко выраженных эффектов, что, по всей вероятности, обусловлено малой скоростью протекания процессов.

Весовые потери не превышают 1,5%. Кривая DTG позволяет выделить незначительные эффекты при 160 и 600°, т. е. в областях температур вышерассмотренных процессов, которые связаны с потерей поглощенной на поверхности пор влаги, а также выделением CO<sub>2</sub> и SO<sub>3</sub>, обусловленным присутствием неполностью вспученных частиц сырого перлита.



Рис. 2. Микроскопический снимок вспученного перлита Арагацкого месторождения ×200.



Рис. 3. Электронно-микроскопический снимок фильтр-порошка "Арагац" ×8000.

Результаты микроскопического исследования (микроскопом МИН-8) свидетельствуют о том, что вспученный перлит в иммерсионных препаратах представлен в виде овально-остроугольных частиц, не имеющих ярко выраженной морфологии, с поверхностью, напоминающей пчелиные соты с неравномерными и бесформенными ячейками (рис. 2). С помощью дифференциально-термического анализа исследованы полученные фильтрующие порошки типа «Арагац». На кривых ДТЛ фиксируется один отчетливо выраженный эндотермический эффект при 183°, соответствующий процессу дегидратации фильтр-порошка в результате удаления остаточной влаги после сушки влажного порошка, подвергшегося мокрому помолу.

Таблица З Зависимость физико-механических свойств вспученного перлита от температуры вспучивания

тература чивания,	il Bec,	вя на-	Пло	тность	Водопоглоще- ние, <sup>0</sup> / <sub>0</sub>		Пористость. %/0					
грат нва	SHE II	E 8					открытая		закрытая			
Гемпе вспуч °С	Улел 2	Объе сыпна 2/с.и <sup>3</sup>	º/o	ОТПОСН- Тельная		пое	весо- вая	объем- ная	весо- ная	объем- ная	тпан од-	
1000	2,15	0,085	4,0	0,04	456.0	38,0	38,7	3,2	57,3	92.8	96,0	
1050	2,14	0.075	3,0	0.03	501.0	37,0	37,1	2,7	58,9	93,3	96,0	
1100	2,15	0,072	3,0	0,03	548,0	39,0	38,9	2,7	57,1	93,3	96,0	

Таблица 4 Результаты спектрального анализа перлита Арагацкого месторождения,  $^{\circ}/_{\scriptscriptstyle{\parallel}}$ 

Al	Fe	Mg	Mn	Cu	TI	Cd	Ba	Be	Co	Pb	Cr	Zr	Na
>3	0,7—1,0	0,1	10,0	0,0001—0,0003	0,1	<1	0,03	0.0003	0,03	<0,003	<0,001	<0,003	0,1-0,3

Электронно-микроскопическое исследование фильтр-порошка «Арагац» (рис. 3), проведенное с целью выявления изменений формы частиц, происходящих при измельчении вспученного перлита (время помола 10—150 мин., шаровая мельница типа ТМNР-19, при Т: Ж=1:6—7), показало, что при кратковременном измельчении (10 мин.) большинство частиц сохраняет форму вспученного перлита с частицами остроугольной, иногда округлой формы. При длительном измельчении (100—150 мин.) фильтр-порошок представлен мелкими игольчатыми зернами длиной 2—8 мкм.

Таким образом, процесс вслучивания перлита приводит к образованию тонкодисперсной пористой силикатной составляющей (по микроструктуре), малой объемной массе, пригодной для изготовления на его основе фильтрующего порошка.

На основе вышеизложенного в ИОНХ АН Арм. ССР разработан способ получения фильтрующих порошков на основе перлита Арагацкого

месторождения [4], принципнальной особенностью которых является вслучивание, обеспечивающее 95-96% пористости и малую объемную массу ( $100-200 \ \kappa \epsilon / M^3$ ).

Однородность, низкоє содержание окрашивающих окислов, химическая устойчивость, высокий коэффициент вспучивания выдвигают перлиты, в частности перлиты Арагацкого месторождения, в ряд материалов, наиболее перспективных для производства фильтрующих порошков.

# ՀՈՒՄՔԱՅԻՆ, ՓՐՓՐԵՑՎԱԾ ՊԵՌԼԻՏԻ ԵՎ «ԱՐԱԳԱԾ» ՖԻԼՏՐՈՂ ՓՈՇՈՒ ՈՒՍՈՒՄՆԱՍԻՐՈՒԹՅՈՒՆԸ

ր. վ. ՄԱՆՈՒԿՑԱՆ L Ջ. 8. ԳԱԲՐԻՆԼՅԱՆ

Ուսումնասիրված են Արագածի Հանքավայրի պեռլիտը, փրփրեցված արտադրանքը և «Արագած» ֆիլտր-փոշին Թերմոդրաֆիկ և Թերմոգրավիմետրիկ հղանակներով։

# INVESTIGATION OF THE RAW SWALLEN PERLITE AND OF THE FILTERING POWDER "ARAGATS"

#### R. V. MANUKIAN and D. Ts. GABRIELIAN

Perlite from Aragats ores, the swallen product and the "Aragats" filtering powder have been investigated by thermogravimetrical, thermographical, and electromicroscopic methods.

#### ЛИТЕРАТУРА

- 1. С. П. Каменецкий, Перлиты. Свойства, технология и применение. Госстройиздат., М., 1963, стр. 34.
- 2. А. В. Жуков, Матерналы и изделия на основе вспученного перлита, Стройиздат, М., 1972, стр. 44.
- 3. А. А. Крупа, Физико-химические основы получения пористых материалов из вулканяческих стекол, Изд. «Высшая школа», К., 1978, стр. 101.
- 4. Авт. свид. СССР № 594991, 1978, Бюлл. изобр. № 8, 1977.

## XXXII, № 10, 1979

УДК 661.183.6: 661.865-

### СИНТЕЗ СИЛИКАТОВ РЕДКОЗЕМЕЛЬНЫХ ЭЛЕМЕНТОВ

К.Г. АСЛАНЯН, А.К. НАДЖАРЯН, Р.Б. НИКОГОСЯН и К.Г. ГРИГОРЯН

> Институт общей и неорганической химии АН Армянской ССР, Ереван

> > Поступило 13 IX 1978

Разработан новый способ [1] получения силикатов редкоземельных элементов путем «сжигания» в токе кислорода расплавленных хлоридных соединений редкоземельных элементов в присутствии аморфного  $SiO_2$  или жидкого  $SiCl_4$ . При «сжигании» расплавов  $K_3LaCl_6$ ,  $K_3NdCl_6$  и  $K_3GdCl_6$  при  $SiO_2:TR_2O_3=1:2$  получены ортосиликаты лантана  $La_2SiO_5$ , неодима  $Nd_2SiO_5$  и гадолиния  $Gd_2SiO_5$ .

Полученные соединения исследованы методами кристаллооптического, рентгено-

метрического и химического анализов.

Рис. 1, табл. 2, библ. ссылок 9.

Силикаты редкоземельных элементов (РЗЭ) применяются в производстве новых керамических материалов и специальных стекол [2]. Материалы на основе редких земель представляются весьма перспективными для интенсивно развивающихся областей новой техники [3].

В имеющейся литературе приводятся данные о методах получения силикатов РЗЭ путем термической обработки исходных окислов при температуре выше 1500—1600° [4—5] и гидротермальных способах их кристаллизации [6—8].

Нами разработан новый способ получения силикатов РЗЭ путем «сжигания» в токе кислорода хлоридных расплавов, содержащих безводные хлориды РЗЭ при 950—1100°. Полученные результаты приводятся в настоящей статье.

В опытах использовались LaCl<sub>3</sub>, NdCl<sub>3</sub>, GdCl<sub>3</sub>, KCl, аморфная SiO<sub>2</sub> и SiCl<sub>4</sub>. Для получения труднолетучих соединений указанные безводные хлориды РЗЭ расплавлялись с KCl с образованием их калиевых гексахлоридов по реакции

 $TRCl_3 + 3KCl = K_3TRCl_8$ , где TR - La, Nd, Gd.

С целью повышения устойчивости K<sub>3</sub>TRCl<sub>6</sub> полученные расплавы разбавлялись соответствующим количеством КСl до 10—20 вес. % по TRCl<sub>3</sub>.

Для проведения опытов тонкоизмельченные хлоридный плав и аморфная SiO<sub>2</sub> тщательно смешивались и загружались в кварцевый

реактор, помещаемый в электропечь.

При использовании в качестве кремнийсодержащего соединения SiCl<sub>4</sub> тонкоизмельченный плав «орошалоя» расчетным количеством жилкого четыреххлористого кремния и после выдерживания в течение 10—15 мин. смесь загружалась в реактор.

«Сжигание» хлоридного расплава в омеси с SiO<sub>2</sub> или SiCl<sub>4</sub> осуществлялось при 950—1100° в токе газообразного кислорода, подаваемого из баллона со скоростью 10—16 *л/чо*с на 100 г смеси и барботируемого через расплав. Анализ кислорода показал содержание в нем 2,7% азога, что не влияет на процесс.

Образование силиката РЗЭ при «сжигании» расплава может быть

представлено следующим образом:

$$2K_3TRCI_6 + SiO_2 + 1.5O_3 = TR_2SiO_3 + 6KCI + 3CI_3$$

или

$$2 \mathrm{K_3TRCl_6} + \mathrm{SiCl_4} + 2.5 \, \mathrm{O_2} = \mathrm{TR_2SIO_5} + 6 \mathrm{KCl} + 5 \mathrm{Cl_2}.$$

После окончания опыта полученная смесь охлаждалась, образующийся силикат отмывался от КСІ горячей дистиллированной водой и высущивался. Были использованы хлоридные расплавы, содержащие 10 и 20 вес. % TRCI<sub>3</sub> с получением в смеси мольных отношений SiO<sub>2</sub>: TRCI<sub>3</sub> = 2 и 1.

В табл. 1 приводятся экспериментальные данные, характеризующие кинетику процесса «сжигания» раоплава  $K_3LaCl_6$  с применением в качестве кремнийсодержащих соединений  $SiO_2$  и  $SiCl_4$  при мольном отношении в смеси  $SiO_2$ :  $La_2O_3 = 1$ .

Как видно из таблицы, повышение температуры от 950 до  $1100^{\circ}$ , а также применение SiCl<sub>4</sub> взамен SiO<sub>2</sub> приводят к значительной интенсификации процесса образования силиката P3Э. Аналогично протекает процесс и при «сжигании» расплавов  $K_3NdCl_6$  и  $K_3GdCl_6$ , а также при увеличении мольного отношения SiO<sub>2</sub>:  $TR_2O_3$  до 2.

Поскольку реакция «сжигания» хлорида осуществляется путем диффузии хлорида к поверхности газовых пузырьков с последующим химическим взаимодействием хлорида с кислородом, то для диффузионных процессов характерна прямая зависимость скорости «сжигания» от скорости газового потока, что и наблюдается в данном случае. С увеличением скорости газового потока с 10 до 16 л/час на 100 г смеси скорость реакции возрастает примерно в 1,5 раза.

Исследование полученных продуктов реакции методами рентгенографии, кристаллооптического и химического анализов показало следующее. При «сжигании» расплава  $K_3LaCl_6$  в указанных в табл. 1 условиях образуется ортосиликат лантана ( $La_2SiO_6$ ), представленный бесцветными и прозрачными игольчато-призматическими кристаллами размером от  $3\times 5$  до  $10\times 100$  мкм (рис., а). Кристаллы проявляют сильное двойное лучепреломление и имеют показатели светопреломления  $n_0=1,855$ ,

 $n_e = 1,843$ . Пикнометрическая плотность полученного La<sub>2</sub>SiO<sub>5</sub> равна 5,73 г/см<sup>3</sup>. Химический анализ показал содержание вес. %: La<sub>2</sub>O<sub>8</sub> = 84,48, SiO<sub>2</sub> = 15,51.

Таблица 1
Изменение степени "сжигания" расплава K<sub>3</sub>LaCl<sub>6</sub>
от температуры и продолжительности
при использовании SiO<sub>2</sub> и SiCl<sub>6</sub>

Темпера-	Продолжи- тельность	Степень "сжигания" расплава, °/ <sub>0</sub>					
тура опыта, °С	опыта,	с примене- нием SIO <sub>2</sub>	с примене- нием SiCl				
950	10	12,6	18,7				
950	30	22,4	37,6				
950	50	44,0	70,5				
950	70	65,4	83,4				
1000	10	16,3	28,0				
1000	30	32,0	51,5				
1000	50	54,6	٤0,4				
1000	70	79,4	95,9				
1050	10	24,4	38,1				
1050	30	40,7	71,8				
1050	50	53,7	94,6				
1050	70	86,4	1 - 7				
1100	10	35,5	51,3				
1100	30	55,0	96,1				
1100	50	76,2	W. 1-				
1100	70	93.2	-				

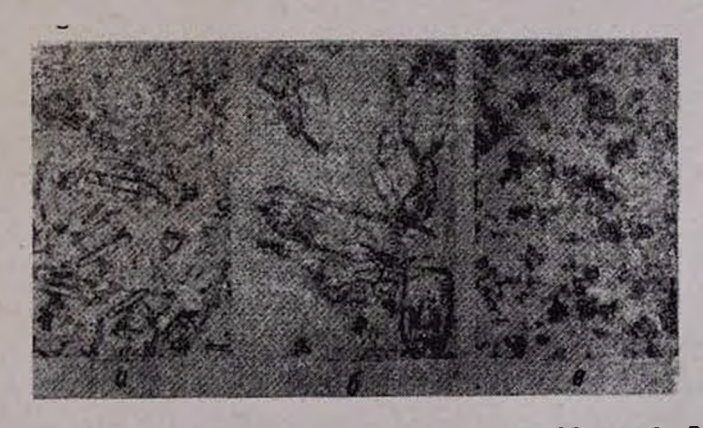


Рис. Микрофотографии кристаллов ортосиликатов РЗЭ:  $a = \text{La}_2\text{SiO}_5$ ,  $\sigma = \text{Nd}_2\text{SiO}_5$ ,  $\sigma = \text{Gd}_2\text{SiO}_5$ . Увеличено в 200 раз.

При «сжигании» в тех же условиях расплава  $K_3NdCl_F$  образуется ортосиликат неодима ( $Nd_2SiO_5$ ), представленный под микроскопом прозрачными и хорошо ограненными крупными биппрамидально-призматическими кристаллами размером от  $15\times60$  до  $45\times180$  мкм (рис., б). Кристаллы имеют стеклянный блеск, проявляют сильный плеохроизм (от бледно-розового по  $n_e$  до красно-фиолетового по  $n_0$ ). Двойное лучепреломление сильное. Показатели светопреломления:  $n_0 = 1,912, n_e = 1,894$ . Пикнометрическая плотность кристаллов равна 5,962  $z/cm^3$ . Химический анализ показал содержание вес. %:  $Nd_2O_3 = 84.87$ ,  $SiO_2 = 15,14$ .

При «сжигании»  $K_3GdCl_6$  в тех же условиях образуется ортосиликат гадолиния ( $Gd_2SiO_5$ ). Под микроскопом он представлен короткопризматическими, прозрачными кристаллами со стеклянным блеском и размером около  $3 \times 15$  мкм (рис., в). Кристаллы имеют сильное двойное лучепреломление. Показатели светопреломления:  $n_0 = 1,998$ ,  $n_e = 1,979$ . Химический анализ показал содержание (вес. %):  $Gd_2O_3 = 85,78$ ,  $S_1O_3 = 14,20$ .

Таблица 2 Порошковые рентгенограммы ортосиликатов РЗЭ, Fe-антикатод, без фильтра

La <sub>2</sub> SIO <sub>5</sub>		Nd <sub>2</sub> SIO <sub>5</sub>		Gd <sub>2</sub> SiO <sub>5</sub>		La <sub>2</sub> SiO <sub>5</sub>		Nd <sub>2</sub> SIO <sub>5</sub>		Gd <sub>2</sub> SiO <sub>5</sub>	
J	d/n	J	d/n	J	d/n	1	d/n	J	d <sub>/</sub> n	J	d'in
4	3,799	5	3,351	4	3,322	1	1,867	2	1,690	6	1,601
1	3,649	4	3,212	7	3,285	3	1.832	1	1,638	3	1,539
1	3,495	2	3,074	10	2,977	2	1,737	5	1,578	4	1,500
2	3,344	7	3,018	5	2,792	1	1,627	6	1,555	6	1,383
2	3,211	6	2,809	4	2,696	1	1,588	1	1,508	5	1,347
5	3,030	10	2,567	3	2,308	2	1,421	1	1,483	6	1,302
6	2,957	2	2,346	5	2,197	2	1,391	1	1,456	3	1,249
1	2,889	5	2,245	2	2,145	2	1,254	2	1,353	4	1,234
2	2,716	3	2.160	6	2,101	-	-	1	1,296	4	1,214
5	2,599	2	2,095	3	1,926	-		1	1,273	3	1,191
10	2,363	7	1,997	2	1,849	-	-	4	1,230	5	1,164
2	2,209	4	1,975	8	1,818		_		//	4	1,155
4	2,073	2	1,855	5	1,774	-	-	_ ,		6	1,146
2	2,012	1	1,800	3	1,715	-	_	-		3	1,120
6	1,945	1	1,778	3	1,687	1-	-		_	6	1,107
2	1,889	1	1.762	4	1,630	-			_	5	1,092

В табл. 2 приводятся рентгеновские данные полученных ортосиликатов La, Nd и Gd, хорошо совпадающие с литературными. Высокие показатели светопреломления и большая плотность полученных кристаллов ортосилькатов РЗЭ обусловлены компактностью их кристаллических структур. Изменение концентрации хлоридов P3Э в исходном расплаве и соответствующие изменения мольного отношения  $SiO_2:TR_2O_3$  от 1 до 2 в изученных условиях не приводят к изменению состава и структуры образующихся оиликатов P3Э. Очевидно, это можно объяснить тем, что образование ортосиликатов с плотной структурой, содержащей изолированные кремнекислородные тетраэдры, в значительной мере обусловлено структурными особенностями составляющих компонентов хлоридного расплава изученных составов.

### ՀԱԶՎԱԳՑՈՒՏ ՀՈՂԵՐԻ ՍԻԼԻԿԱՏՆԵՐԻ ՍՏԱՑՄԱՆ ՈՒՄՈՒՄՆԱՍԻՐՈՒԹՅՈՒՆՆԵՐ

Կ. Դ. ԱՍԼԱՆՅԱՆ, Ա. Կ. ՆԱԶԱՐՅԱՆ, Ռ. Բ. ՆԻԿՈՂՈՍՅԱՆ և Կ. Դ. ԳՐԻԴՈՐՅԱՆ

#թվածնի հոսքում քլորիդային հալոցքների «այրումով» ամորֆ SiO<sub>2</sub>-ի կամ հեղուկ SiCl<sub>4</sub>-ի առկայությամբ մշակված է հազվազյուտ հողերի սիլի-

կատների ստացման նոր եղանակ։

Քլորիդային հալոցքների  $K_3LaCl_8$ .  $K_3NdCl_8$  և  $K_3GdCl_8$ -ի «այրման» ժամանակ 950—1100°-ում և  $SiO_2$ -ի և  $TR_2O_3$ -ի 1:2 հարաբերության պայմաններում հալոցքում առաջանում են լանթանի, նեոդիումի և գաղոլինիումի օրթոսիլիկատներ ( $La_2SiO_3$ ,  $Nd_2SiO_3$ ):

Սուացված միացությունները ուսումնասիրված են բյուրեղաօպտիկական

ու ռենտգենաչափական մեթոդներով և քիմիական անալիզով։

#### SYNTHESIS OF SILICATES OF RARE-EARTH ELEMENTS

K. G. ASLANIAN, A. K. NAJARIAN, R. B. NICOGHOSSIAN and K. G. GRIGORIAN

A new method for preparing silicates of rare-earth elements by "burning" the melted chloride compounds of the latter in an oxygen stream and in the presence of amorphons silica or liquid silicon tetrachloride has been proposed.

Lanthanium, neodynium, and gadolinium orthosilicates have been obtained during the "burning" process of  $K_3LaCl_e$ ,  $K_3NdCl_e$  and  $K_3GdCl_e$  at 950—1100°C, and at an initial molar ratio of  $SiO_2: TR_3O_3 = 1:2$ .

The obtained compounds have been investigated by methods of crystallooptical, X-ray, and chemical analysis.

#### ЛИТЕРАТУРА

1. К. Г. Асланян, А. К. Наджарян, И. И. Елфимов, Р. Б. Никогосян, Способ получения силнкатов двухвалентных металлов, Авт. свид. СССР, № 604817, 1976, Бюлл. нзобр. № 16, 1978.

- 2. Н. А. Торопов, И. А. Бондарь, Силикаты редкоземельных элементов п их аналоги, Изд. «Наука», Л., 1971, стр 189.
- 3. Н. А. Торопов, Химия силикатов и окислов. «Изд. «Наука», Л., 1974, стр. 122.
- 4. Т. В. Пермякова, И. С. Лилеев, Получение силикатов лантана, ЖНХ, 9, 925 (1964).
- 5. Н. А. Торопов, Ф. Я. Галахов, С. Ф. Коновалова. Силикаты редкоземельных элементов, Изв. АН СССР, сер. хим., 1981, 539.
- Э. К. Келер, А. К. Кузнецов, Образование оксиортосиликата иттрия, ЖПХ, 35, 250 (1962).
- 7. А. Б. Андреева, Э. К. Келер, Свойства силикатов лантана, ЖПХ, 36, 2605 (1963).
- 8. R. O. Miller, Journ. Amer. Ceram. Soc., 47, 653 (1964).
- 9. Керамический материал из силикатов РЗЭ. Пат. США, № 3798047, 1974.

#### ОРГАНИЧЕСКАЯ ХИМИЯ

УДК 542.947+547.323+547.333+547.383

# ИССЛЕДОВАНИЯ В ОБЛАСТИ АМИНОВ И АММОНИЕВЫХ СОЕДИНЕНИЙ

CXLIX. СИНТЕЗ АЛЛИЛОВЫХ АЛЬДОЕНАМИНОВ РЕАКЦИЕЙ ПЕРЕГРУППИРОВКИ-РАСЩЕПЛЕНИЯ ПОТЕНЦИАЛЬНЫХ ЕНАММОНИЕВЫХ СОЛЕЙ

Дж. В. ГРИГОРЯН, А. Ж. ГЕВОРКЯН и А. Т. БАБАЯН Институт органичечской химии АН Армянской ССР, Ереван Поступило 24 V 1979

Показано, что соли диметил (2-галондэтил) аммония, содержащие 2,3-непредельную группу, в водно-щелочной среде в присутствии метилаллил- и диаллиламина в результате внутримолскулярного С-алкилирования образуют с хорошим выходом енамии, содержащий аллильную группу.

Табл. 2, библ. ссылок 3.

Ранее нами был разработан способ синтеза непредельных альдоенаминов внутримолекулярным С-алкилированием потенциальных енаммониевых солей в водно-щелочной среде в присутствии вторичных аминов [1, 2].

$$(CH_3)_{1}N \xrightarrow{CH_2CH_2CH_2} Y \xrightarrow{OH} (CH_3)_{2}N \xrightarrow{CH_2CH_2CH_2} Y \xrightarrow{RR'NH} (CH_3)_{2}N \xrightarrow{CH_2CH_2CH_2} Y \xrightarrow{R} NCH = CH_2CH_2 + (CH_3)_{2}NH$$

В продолжение этих работ с целью получения альдоенаминов, содержащих и  $\beta$ , $\gamma$ -непредельную группу, изучалось взаимодействие солей I— IV с водной щелочью в присутствии метилаллил-(а), диаллил-(б) или аллилбензиламинов (в).

$$(CH_3)_2 \stackrel{X}{N} \stackrel{CH_2C=C}{CH_2CH_2Hal} \stackrel{GH}{=} \stackrel{CH_3C=C}{=} \stackrel{X}{CH_3CH_2Hal} \stackrel{X}{=} \stackrel{CH_3C=C}{=} \stackrel{X}{CH_3CH_2Hal} \stackrel{X}{=} \stackrel{CH_3C=C}{=} \stackrel{X}{CH_3CH_2CH_2CH_2CH_2} \stackrel{X}{=} \stackrel$$

Результаты, приведенные в табл. 1, показывают, что во всех случаях суммарный выход енаминов А и Б высок. В случае метилаллил-(а) и диаллиламинов (б) выход енамина Б значительно выше выхода А. Обратная картина в случае бензилаллиламинов (в). Нам не удалось как при комнатной температуре, так и при нагревании получить аллилбензиловые енамины с высокими выходами. Данные о впервые описываемых енаминах приведены в табл. 2. Строение енаминов доказано данными ИКС, а чистота проверена ГЖХ.

Таблица 1 Результаты взаимодействия солей I—IV с 2,5-мольным количеством 25°/₀ водного раствора едкого кали и эквимольного количества вторичного аллиламина при комнатной температуре

Исходная соль	Вторичный амин	Выходы г	продуктов ре	акини, <sup>0</sup> / <sub>0</sub>	
(CH <sub>3</sub> ) <sub>2</sub> N R	L '.H	ена			
CH <sub>2</sub> CH <sub>3</sub> Hal	R'N CH <sub>2</sub> CH=CH <sub>2</sub> R'=	A*	Б	альдегид	
1. CH <sub>2</sub> CH=C(CH <sub>3</sub> ) <sub>2</sub>	CH <sub>3</sub> (a)	23,0	64,0	1,0	
THE PARTY NAMED IN	CH <sub>2</sub> CH=CH <sub>2</sub> (6)	26,0	50,0	2,0	
-21 23 61 - 1	CH <sub>2</sub> C <sub>6</sub> H <sub>5</sub> (B)	51 (47)**	25,9 (27)**	4,8 (7)**	
II. CH <sub>2</sub> CH=CHCH <sub>3</sub> ***	(a)	14,3	60.0	_	
	(6)	16,0	56,0	_	
III. CH <sub>2</sub> CH=CHC <sub>6</sub> H <sub>5</sub>	(a)	34,0	59,0	-	
A	(6)	2,6	66,0	_	
24 101 13	(B)	1,4	20.1	50.0	
IV. CH <sub>3</sub> C(CH <sub>3</sub> )=CH <sub>3</sub> ***	(a)	15,3	51,1	43	

<sup>\*</sup> Физические константы приведены в [3].

\*\* При 60° за 5 час.

<sup>•••</sup> Образуются также продукты кротоновой конденсации с 2-6% выходом. 790

Енамины	X, º/o	Т. кип.,	n 20	Ha	йдено, <sup>6</sup>	Y.	Выч	ислено,	0/0	
	Выход,	°С/.и.и	°C/.u.u	С	н	N	С	Н	N	ИК спектр, с.и <sup>-1</sup>
CH <sub>3</sub> NCH=CH <sub>2</sub> CH=CHC(CH <sub>3</sub> ) <sub>3</sub> CH=CH <sub>3</sub>	64	82-83/21	1,4730	79,79	11,46	8,70	80,00	11,52	8,48	920, 1645, 1655, 3090
CH <sub>3</sub> NCH=CH <sub>2</sub> CH=CHCH(CH <sub>3</sub> )CH=CH <sub>2</sub>	60	83 -87/30	1,4722	79,60	11,25	9,11	79,47	11.26	9,27	920, 1647, 1660, 3090
$CH_3N = CH_2CH = CH_2$ $CH = CHCH(C_6H_6)CH = CH_3$	59	115/4,5	1,5430	85,00	8,76	6,14	84,51	8,92	6.57	920 - 1500 , 1590 , 1600 , 1640 , 1660 , 3030 , 3090
CH <sub>3</sub> N CH <sub>2</sub> CH=CH <sub>2</sub> CH=CHCH <sub>3</sub> CH(CH <sub>3</sub> )=CH <sub>3</sub>	51	58—60/6	1,4770	79,31	11,19	9,50	79,47	11,26	9,27	920, 1645, 1660, 3090
(CH <sub>2</sub> =CHCH <sub>3</sub> ) <sub>2</sub> NCH=CHC(CH <sub>3</sub> ) <sub>2</sub> CH=CH <sub>2</sub>	50	95-97/14	1,4798	81,41	10,56	7,55	81,68	10,99	7,33	920, 1643, 1655, 3390
$(CH_2 = CHCH_2)_2NCH = CHCH(C_8H_5)CH = CH_2$	59	120—122/4	1,5433	85,20	8,57	5,59	85,35	8,79	5,86	920, 1500, 1590, 1640, 1660, 3060, 3090
(CH <sub>3</sub> =CHCH <sub>2</sub> ) <sub>2</sub> NCH=CHCH(CH <sub>3</sub> )CH=CH <sub>2</sub>	56	92-95/16	1,4818	81,35,	10,35	7,68	81,36	10,73.	7,91	920, 1647, 1,660, 3090
$C_0H_0CH_2N$ $CH=CHC(CH_3)_0CH=CH_2$	26	102—105/4	1,5228	84,60.	9,55	5,84	84,65	9,54	5,81	920, 1590, 1645, 1660, 3060, 3090
C <sub>a</sub> H <sub>a</sub> CH <sub>3</sub> N CH <sub>2</sub> CH=CH <sub>3</sub> H CH=CHC(C <sub>a</sub> H <sub>b</sub> )CH=CH <sub>3</sub>	20	108—109/4	1,5340	86,95.	7,69	4,75	87,20	7,96	4,84	920, 1590, 1645, 1660, 3060, 3090

Для снятия спектров использовались ИК спектрометры UR-20 и UR-10. ГЖХ соединений проводилась на приборе «Хром-31» с катарометром (колонка—апиезон-L 5%, твин-40 10% на целите-545), скорость :He 60—80 мл/мин, l=1,2 м d=6 мм, температура 150—180°.

Общее описание. К водному раствору испытуемой соли добавляются растворы едкого кали и вторичного амина. Реакционная смесь время от времени встряхивается, оставляется на 4—5 час. при комнатной температуре, затем экстратируется эфиром. Эфирный экстракт сушится над сульфатом магния и перегоняется.

# ՀԵՏԱԶՈՏՈՒԹՅՈՒՆՆԵՐ ԱՄԻՆՆԵՐԻ ԵՎ ԱՄՈՆԻՈՒՄԱՅԻՆ ՄԻԱՑՈՒԹՅՈՒՆՆԵՐԻ ԲՆԱԳԱՎԱՌՈՒՄ

CXLIX. ԱԼԻԼԱՑԻՆ ԱԼԴՈԵՆԱՄԻՆՆԵՐԻ ՍԻՆԹԵԶԸ ՊՈՏԵՆՑԻԱԼ
ԵՆԱՄՈՆԻՈՒՄԱՑԻՆ ԱՂԵՐԻ ՃԵՂՔՄԱՆ-ՎԵՐԱԽՄԲԱՎՈՐՄԱՆ ՌԵԱԿՑԻԱՑՈՎ

2. 4. APPANPSUL, U. J. ABANPASUL L U. P. PUPUSUL

8ույց է տրվել, որ 2,3-չՀագեցած խումբ պարունակող դիմենիլ(2-Հալոգենէնիլ)ամոնիումային աղերը ջրահիմնային միջավայրում մենիլալիլ- և դիաչիլամինի ներկայունյամբ ներմոլեկուլյար C-ալկիլման արդյունջում լավ ծլջով առաջացնում են ալիլային խումբ պարունակող ենամին։

# INVESTIGATIONS IN THE FIELD OF AMINES AND AMMONIUM COMPOUNDS

CXLIX. SYNTHESIS OF ALLYLIC ENAMINES BY THE REARRANGEMENT-CLEAVAGE REACTION OF POTENTIAL ENAMMONIUM SALTS

J. A. GRIGORIAN, A. Zh. GUEVORKIAN and A. T. BABAYAN

The rearrangement-cleavage reaction of dialkyl(2-haloethyl)ammonium salts containing 2,3-unsaturated groups has been investigated in the presence of methylallyl- and diallylamines and in an aqueous alkaline medium.

#### ЛИТЕРАТУРА

- 1. А. Т. Бабаян, Дж. В. Григорян, П. С. Чобанян, Авт. свид. СССР, № 602495 от 22.07.76, Бюлл. нзобр., № 14, 1978.
- 2 А. Т. Бабаян, Дж. В. Григорян, А. Ж. Геворкян, П. С. Чобанян, Арм. хим. ж., 30, 987 (1977).
- 3. А. Т. Бабаян, М. Г. Инджикян, Г. Б. Багдасарян, Н. М. Давтян, ЖОХ, 34, 416 (1964).

УДК 547.253.3+547.281+547.288.2

# НОВЫЙ ПУТЬ СИНТЕЗА ПРОИЗВОДНЫХ ПИПЕРИДИНА

#### Э. А ГРИГОРЯН, А. Ц. КАЗАРЯН, С. О. МИСАРЯН и Г. Т. МАРТИРОСЯН

Ереванский медицинский институт Научно-производственное объединение «Наирит», Ереван

Поступило 25 VI 1979

Показано, что 2- (β-фенилэтил) изобутилиден-, 2- (β-фенилэтил) бутилиден-, 2,2-ди (β-фенилэтил) пропилиден и 2,2-ди-(β-фенилэтил) бутилиденбензиламины под действием каталитических количеств натрия подвергаются имин-иминной изомеризации, внутримолекулярному протонированию и циклизации с образованием соответствующих пиперидинов. В аналогичных условиях 2- (β-фенилэтил) изоамилиденбензиламин подвергается только имин-иминной изомеризации.

Библ. ссылок 3.

Недавно нами было показано, что 2-(β-фенилэтил) изобутилиденбензиламин (I) под действием каталитических количеств калия изомеризуется, образуя бензилиден-2,2-диметил-4-фенилбутиламин (II) с высоким выходом. При взаимодействии I с натрием реакция не останавливается на стадии II, а имеет место дальнейшая внутримолекулярная циклизация с образованием 3,3-диметил-5,6-дифенилпиперидина (III) [1].

Настоящее сообщение посвящено подробному изучению поведения N-бензилиминов под действием каталитических количеств натрия.

При нагревании бензольного раствора I в присутствии натрия в основном получается III (60%). Наряду с этим образуется и 5% II, гидролизом которого получен соответствующий амин.

При нагревании I с натрием без растворителя при 120—130° в течение 3—4 час. выход III достигает 70%, в аналогичных условиях при взаимодействии II с натрием образуется III с выходом 50%. Выход III увеличивается до 76% при нагревании II с натрием в гексаметилфосфортриамиде (ГМФТА) при 120—140°.

Строение III установлено данными ИК спектров, а также химическим путем. В ИК спектре отсутствуют полосы поглощения в области  $1680~cm^{-1}$ , характерные для N=C группы, и появляются полосы поглощения в области  $3300~cm^{-1}$ , присущие для N-H группы. Продукт не изменяется при обработке кислотой и дальнейшем подщелочении. При

взаимодействии со стиролом в присутствии натрия с 56% выходом получается N-(β-фенилэтил)-3,3-диметил-5,6-дифенилпиперидин (IV).

Интересно, что II под действием калия как в растворителе, так и

без него не превращаетоя в III.

Аналогичная картина наблюдается и при нагревании 2-(β-фенилэтил) бутилиденбензиламина (V) в присутствии каталитического количества натрия. После кислотного гидролиза и дальнейшего подщелочения получены 3-этил-5,6-дифенилпиперидии VI (15%) и 2-этил-4-фенилбутиламин (VII) (18%).

В случае 2,2-ди (β-фенилэтил) пропилиденбензиламина (VIII) выход замещенного пиперидина—3-метил-3-(β-фенилэтил)-5,6-дифенилпиперидина (IX) составляет 17%, а выход 2-метил-2-(β-фенилэтил)-4-фенилбу-

тиламина (X)—46,3%.

При переходе к 2,2-ди (β-фенилэтил) бутилиденбензиламину (XI) получены 3-этил-3-(β-фенилэтил)-5,6-дифенилпиперидин (XII) и 2-этил-2-(β-фенилэтил)-4-фенилбутиламин (XIII) с выходами 37 и 12%, соответственно.

Интересно, что при взаимодействии 2-(β-фенилэтил) изоамилиденбенэиламина (XIV) с натрием имеет место только изомеризация в бензилиден-2-изобутил-4-фенилбутиламин (XV) с выходом 70%. При проведении опыта в ГМФТА выход XV составляет 47%. Изученные превращения нами представляются следующей схемой:

Индивидуальность исходных и полученных продуктов установлена ГЖХ на хроматографе «Цвет-2» (газ-носитель—азот, скорость 35—37 мл/мин, твердая фаза—5% силоксановый эластомер Е-30, длина колонки 2 м, температура 200—350°) и ТХС на незакрепленном слое алюминия («ч.д.а.»). Проявитель—йод.

Взаимодействие I с натрием. Смесь 18,55 г (0,07 моля) I, 30 мл бензола и 0,05 г натрия кипятилась 3—4 часа. После удаления бензола перегонкой получено 11,1 г (60%) III с т. кип. 163—166°/3 мм (т. пл. 69—71°). Найдено %: С 86,12; Н 8,47; N 5,13. С<sub>19</sub>Н<sub>23</sub>N. Вычислено %: С 86,04; Н 8,68; N 5,29. ИК спектр, см<sup>-1</sup>: 3300 (NH). Обработкой 10% серной кислотой и подщелочением с 92% выходом обратно получен III. Получено также 0,93 г (5%) II с т. кип. 185—186°/44 мм, d<sup>20</sup> 0,9927, п<sup>20</sup> 1,5570. Найдено %: С 85,85; Н 8,28; N 5,00. С<sub>19</sub>Н<sub>23</sub>N. Вычислено %: С 86,04; Н 8,68; N 5,29.

При нагревании I с натрием при 120—130° в течение 3—4 час. выход III достигает 70%. При взаимодействии II с натрием в аналогичных условиях выход III 50%, а при нагревании ГМФТА—до 76%.

Взаимодействие III со стиролом. Смесь 8,8 г (0,033 моля) III, 3,4 г (0,033 моля) стирола, 0,1 г неозона «Д» и 0,05 г натрия нагревалась при 110—120° 3 часа. Перегонкой получено 6,8 г (56%) IV с т. кип. 207—209°/2 мм, п<sup>20</sup> 1,5670. Найдено %: С 87,75; Н 8,12; N 3,55. С<sub>27</sub>Н<sub>31</sub>N. Вычислено %: С 87,80; Н 8,40; N 3,79, R, 0,83 (эфир-бензол, 1:12).

Взаимодействие V с натрием. 13,3 г (0,058 моля) V и 0,05 г натрия нагревалось при 110—130° 3—4 часа. Продукт реакции обрабатывался 80 мл 10% серной кислоты и экстрагировался эфиром. После сушки над CaCl<sub>2</sub> перегонкой получено 0,63 г (0,12%) бензальдегида с т. кип. 176—178°/760 мм, п<sup>20</sup> 1,5440 [2]

Подщелочением кислого слоя получено 1,6 г (18%) VII с т. кип.  $107-108^{\circ}/10$  мм,  $n_D^{20}$  1,5180 [3] и 2 г (15%) VI с т. кип.  $163-165^{\circ}/2$  мм,  $n_D^{20}$  1,5508. Найдено %: С 86,13; Н 8,54; N 5,52.  $C_{19}H_{28}N$ . Вычислено %: С 86,03; Н 8,68; N 5,28. ИК спектр,  $cm^{-1}$ : 3300 (NH).

Взаимодействие VIII с натрием. Аналогично из 17,75 г (0,05 моля) VIII и 0,05 г натрия получено 3 г (17%) ІХ с т. жип. 222—224°/2,5 мм,  $n_D^{20}$  1,5770. Найдено %: С 87,65; Н 8,31; N 4,07.  $C_{26}H_{29}N$ . Вычислено %: С 87,88; Н 8,16; N 3,95,  $R_f$  0,79 (эфир-бензол, 1:10). Получено также 6,7 г (46,3%) X с т. кип. 186—188°/3 мм,  $n_D^{20}$  1,5520 [3] и 2 г (38%) бензальдегида.

Взаимодействие XI с натрием. Аналогично из 18,5 г (0,05 моля) XI и 0,05 г натрия получено 6,9 г (37,2%) XII с т. кип. 232—237°/2 мм,  $n_D^{20}$  1,5762. Найдено %: С 87,57; Н 8,32; N 4,07. С<sub>27</sub>Н<sub>81</sub>N. Вычислено %: С 87,80; Н 8,40; N 3,79;  $R_i$  0,82 (эфир-бензол, 1:12). Получено также 1,7 г (12,2%) XIII с т. кип. 205—207°/4 мм,  $n_D^{20}$  1,5588 [3] и 0,53 г (10%) бензальдегида.

Взаимодействие XIV с натрием. Аналогично из 13,9 г (0,05 моля) XIV и 0,05 г натрия получено 9,7 г (70%) XV с т. кип. 184—187°/2,5 мм, 1,5528. Найдено %: С 86,21; Н 8,82; N 4,92. С<sub>20</sub>Н<sub>25</sub>N. Вычислено %: С 86,02; Н 8,96; N 5,07.

При проведении опыта в ГМФТА выход XIV в аналогичных усло-

виях 47%.

# ՊԻՊԵՐԻԴԻՆԻ ԱԾԱՆՑՑԱԼՆԵՐԻ ՍՏԱՑՄԱՆ ՆՈՐ ԵՂԱՆԱԿ

ቲ. Ա. ԳՐԻԳՈՐՑԱՆ, Հ. 8. ՂԱԶԱՐՅԱՆ, Ս. 0. ՄԻՍԱՐՑԱՆ և Գ. Թ. ՄԱՐՏԻՐՈՍՑԱՆ

ջույց է տրված, որ կատալիտիկ քանակությամբ նատրիումի ազդեցությամբ 2-(β-ֆենիլէթիլ)իզոբուտիլիդեն-, 2-(β-ֆենիլէթիլ)բուտիլիդեն-, 2,2-դի-(β-ֆենիլէթիլ)պրոպիլիդեն և 2,2-դի-(β-ֆենիլէթիլ)բուտիլիդենբենգիլամինները ենթարկվում են իմին-իմինային իզոմերման, ներմոլեկուլային պրոտոնացման և ցիկլման՝ առաջացնելով համապատասխան պիպերիդիններւ Նույնանման պայմաններում 2-(β-ֆենիլէթիլ)իզոամիլիդենբենզիլամինը ենթարկվում է միայն իմին-իմինային իզոմերման։

# A NEW ROUTE TO THE SYNTHESIS OF PIPERIDINE DERIVATIVES

E. A. GRIGORIAN, H. Ts. KAZARIAN, S. O. MISSARIAN and G. T. MARTIROSSIAN

2-( $\beta$ -Phenylethyl)isobutylidene-, 2-( $\beta$ -phenylethyl)butylidene-, 2,2-di-( $\beta$ -phenylethyl)propylidene-, and 2,2-di( $\beta$ -phenylethyl)butylidenebenzylamines in the presence of catalytic amounts of sodium have been shown to undergo imine-imine izomerization, intramolecular protonation and cyclization to give the corresponding piperidines.

Under similar conditions 2-(\beta-phenylethyl)isoamylidenebenzylamine

undergoes only imine-imine isomerization.

#### ЛИТЕРАТУРА

1. Г. Т. Мартиросян, А. Ц. Казарян, С. О. Мисарян, ДАН Арм. ССР, 62, 112 (1976).

2. А. Е. Аграномов, Ю. С. Шабаров, Лабораторные работы в органическом практикуме, Изд. «Химия», 1974, стр. 85.

3. А. Ц. Казарян, С. О. Мисарян, Э. А. Григорян, Г. Т. Мартиросян, Арм. хим. ж., 30, 674 (1977).

УДК 547.315.2+546.13.121

# ВЛИЯНИЕ РАЗЛИЧНЫХ ДОБАВОК НА НИЗКОТЕМПЕРАТУРНОЕ ХЛОРИРОВАНИЕ БУТАДИЕНА

Л. А. ХАЧАТРЯН, С. К. АКОПЯН, А. Ц. МАЛХАСЯН, С. М. МИРАКЯН и Г Т. МАРТИРОСЯН

Научно-производственное объединение «Наирит», Ереван

Поступило 4 IV 1979

Изучено влияние различных добавок на хлорирование бутадиена в четыреххлористом углероде при—10°, в результате которого получаются 1.4-дихлорбутен-2; 3,4-дихлорбутен-1 и 1,2,3,4-тетрахлорбутан. Найдено, что наталитические добавки ингибиторов радикальных реакций и полярных веществ увеличивают долю 3,4-дихлорбутена-1 по сравнению с 1,4-дихлорбутеном-2. К идентичному результату приводит проведение реакции в атмосфере кислорода. На основании полученных результатов обоуждаются возможные механизмы реакций.

Табл. 1, библ. ссылок 5.

Известно, что хлорирование олефинов в газовой фазе происходит по радикально-цепному механизму [1]. Низкотемпературное жидкофазное хлорирование олефинов и 1,3-диенов имеет более сложный механизм. Путсма показал [2], что хлорирование бутадиена в неполярных средах протекает одновременно по гетеролитическому и радикальному механизмам. По данным [2], при глубине конверсии до 10% и мольном соотношении бутадиена и хлора 3:1 (в темноте и в атмосфере радикального ингибитора—кислорода) соотношение 1,4-дихлорбутена-2 (I) и 3,4-дихлорбутена-1 (II) составляет 1:1,2, а в среде азота—1:0,3, т. е. радикальное хлорирование приводит преимущественно к I, а ионное--к II (табл.).

Учитывая практический интерес низкотемпературного хлорирования бутадиена и с целью повышения селективности процесса мы изучили влияние различных добавок на низкотемпературное хлорирование.

Из результатов, приведенных в таблице, видно, что взаимодействие эквимольных количеств бутадиена и хлора в четыреххлористом углероде (ЧХУ) при—10° в течение 30 мин. в атмосфере воздуха приводит к образованию І, ІІ и 1,2,3,4-тетрахлорбутана (ІІІ). По данным ГЖХ, выход дихлорбутенов составляет 74, а ІІІ—4% при мольном соотношении І: и ІІ 1:1,1. При использовании 3-кратного мольного избытка бутадиена, вопреки ожиданию, выход дихлорбутенов снижается до 50%, а ІІІ повышается до 20%. В этом случае соотношение І и ІІ составляет 1:1, т. е.

наблюдается небольшое увеличение доли I, что согласуется с данными [2]. Аналогично происходит реакция в атмосфере азота.

Таблица Хлорирование бутадиена в четыреххлористом углероде (—10°, 30 мин.)

Мольное соотноше- ние бута- диена и хлора	Атмосфера взанмодей- ствия	Добавка, вес. % по бутадиену	Выход дихлор- бутенов, <sup>•</sup> / <sub>•</sub>	Соотношение и и	Выход III, <sup>•</sup> / <sub>4</sub>
1:1 3:1 1:1 3:1 1:1 1:1 1:1 1:1 1:1 1:1	Воздух Азот Кислород Воздух	— — — — — — — — — — — — — — — — — — —	74 50 64 46 55 47 78 76 74 73 83 75 70 80 73 59	1:1,1 1:1 1:1,1 1:1,3 1:1,2 1:1,4 1:1,6 1:0,9 1:1,5 1:1,5 1:1,5 1:1,8 1:1,8 1:1,8	15 9 15 4 14 1 16 5 4 6 4 9 5 8

<sup>•</sup> Опыт проводили при освещении электрической нагревательной лампой (150 am).

\*\* Опыт проводили в ДМФА.

Взаимодействие в среде радикального ингибитора—кислорода, уменьшает выход дихлорбутенов и увеличивает долю II. Последний результат подтверждает вывод Путсма о том, что I является продуктом радикального хлорирования. Еще более ингибирующее влияние на образование I оказывает применение 2 вес. % тиодифениламина и неозона «Д»,при этом мольные соотношения I и II составляют 1:1,4 и 1:1,6, соответственно. Как и следовало ожидать, освещение процесса хлорирования электрической лампой увеличивает долю I.

Изучено также влияние полярных добавок на низкотемпературное хлорирование бутадиена [3—5]. Показано, что добавки 2 вес. % пиридина и диметилформамида (ДМФА) приводят к некоторому увеличению соотношения I и II (1:1,5). Еще большее влияние оказывают добавки диметилсульфоксида (ДМСО, 1:1,6), 1-метилпирролидона-2 (МП, 1:1,8) и трифторуксусной кислоты (ТФУК, 1:1,8). На примере ДМФА показано также, что увеличение количества добавки до 20 вес. % повышает мольное соотношение 1 и II до 1:2.

Таким образом, использование полярных добавок увеличивает долю монного присоединения хлора к бутадиену. Однако следует отметить, что замена ЧХУ ДМФА оказывает уже обратное влияние на выход и соотношение дихлорбутенов.

## Экспериментальная часть

В круглодонной колбе при —10° растворяли 0,1—0,3 моля бутадиена (высушенный над CaCl₂ и молекулярными ситами 4A) в 30 мл ЧХУ и в течение 30 мин. при перемешивании подавали 0,1 моля хлора (высушенный пропусканием через конц. раствор серной кислоты).

Анализ продуктов реакции проводили по данным ГЖХ. Метод внутренней нормализации на приборе ЛХМ-8МД (газ-носитель—гелий, скорость 40 мл/мин, размеры колонок 2000×3 мм, температура 120°, наполнители—апиезон-L 5% и твии-80 5% на целите-545).

Следует отметить, что наряду с I—III, являющимися основными продуктами реакции, в ряде опытов наблюдалось также образование небольших количеств β-хлоропрена, изомерных трихлорбутенов и высших хлоридов, из-за чего общий выход I—III в некоторой степени снижается. Однако суммарный выход указанных продуктов не превышает 5—10%, и поэтому количественный анализ этих продуктов нами не проводился.

# ՏԱՐԲԵՐ ՀԱՎԵԼՈՒՅԹՆԵՐԻ ԱԶԴԵՑՈՒԹՅՈՒՆԸ ԲՈՒՏԱԴԻԵՆԻ ՑԱԾՐՋԵՐՄԱՍՏԻՃԱՆԱՅԻՆ ՔԼՈՐԱՑՄԱՆ ՎՐԱ

լ. Ա. ԽԱՉԱՏՐՅԱՆ, Ս. Կ. ՀԱԿՈՐՏԱՆ, Ա. 8. ՄԱԼԽԱՍՅԱՆ. Ս. Մ. ՄԻՐԱՔՑԱՆ և Գ. Թ. ՄԱՐՏԻՐՈՍՅԱՆ

Ուսումնասիրված է տարբեր հավելույթների ագդեցությունը —10°-ում տետրաքլորածխածնում բուտադիենի քլորացման վրա։ Ցույց է տրված, որ արդյունքում ստացվում են 1,4-դիքլորբուտեն-2, 3,4-դիքլորբուտեն-1 և 1, 2,3,4-տետրաքլորբուտան։ Հայտնաբերված է, որ ռադիկալային հավելույթ-ները մեծացնում են 3,4-դիքլորբուտեն-1-ի բաժինը 1,4-դիքլորբուտեն-2-ի համեմատությամբ։ Նույն արդյունքին է բերում փոխազդեցության իրականա- սումը թթվածնի միջավայրում։ Ստացված արդյունքների հիման վրա քննարկ-

# THE EFFECT OF VARIOUS ADDITIONS ON THE LOW-TEMPERATURE CHLORINATION OF BUTADIENE

L. A. KHACHATRIAN, S. K. HAKOPIAN, A. Ts. MALKHASSIAN, S. M. MIRAKIAN and G. T. MARTIROSSIAN

The effect of various additions on the chlorination of butadiene in  $CCl_4$  at  $-10^\circ$  has been studied. The resulting products were shown to be 1,4-dichlorobutene-2, 3,4-dichlorobutene-1, and 1,2,3,4-tetrachlorobutane.

Additions of polar compounds and radical reaction inhibitors in catalytic amounts have been found to increase the proportion of 3,4-di-chlorobutene-1 as compared with that of 1,4-dichlorobutene-2. Identical

results have been obtained when the reaction was carried out in an atmosphere of oxygen.

The possible reaction mechanisms have been discussed on the basis

of the obtained results.

# ЛИТЕРАТУРА

1. Н. Н. Семенов, О некоторых проблемах химической кинетики и реакционной способности, Изд. АН СССР, М., 1958, стр. 331.

2. M. L. Poutsma, J. Org. Chem., 31, 4167 (1966).

3 Н. Г. Карапетян, Г. Т. Мартиросян, С. М. Миракян, Ю. А. Котикян, С. К. Акопян, Л. М. Григорян, Авт. свид. СССР № 5108887, 1975 г.

4. С. К. Акопян, Е. А. Сарумын, Ю. А. Котикян, С. М. Миракян, Г. Т. Мартиросян,

Арм хим. ж., 30, 395 (1977).

5. С. К. Акопян, Ю. А. Котикян, В. Дж. Тоноян, С. М. Миракян, Г. Т. Мартиросян, Арм. хим. ж., 30, 734 (1977).

УДК 547.81 07+547.818.107

# метод синтеза и некоторые превращения 4-ацетилтетрагидропиранов и тетрагидротиопирана

Р. А. КУРОЯН, А. И. МАРКОСЯН и С. А. ВАРТАНЯН

Институт тонкой органической химии им. А. Л. Миджояна АН Армянской ССР, Ереван

Поступило 29 VI 1979

Разработан метод синтеза 2-алкил (дналкил) -4-зцетилтетрагидропиранов и 2,2-диметил-4-ацетилтетрагидротиопирана. Изучены их некоторые превращения. Табл. 2, библ. ссылок 8.

Синтез O,S,N-содержащих шестичленных гетероциклических 4-альдегидов [1—5] представляет интерес в синтезе новых биологически активных соединений. В продолжение этих исследований в настоящей работе приведены данные, полученные при разработке доступного метода синтеза 4-ацетилтетрагидропиранов и тетрагидротиопирана. Отметим, что в литературе описаны лишь несколько незамещенных в гетероциклическом кольце 4-ацетилтетрагидропігранов, синтезированных на основе тетрагидропиран-4-карбоновой кислоты [6] и соответствующего нитрила [7].

Взаимодействием 4-тетрагидропиранонов и 4-тетрагидротиопиранона с эфиром α-хлорпропионовой кислоты получены глицидные эфиры I—V, структуре которых соответствуют данные масс-спектров и элементного анализа. Так, в случае I масса молекулярного иона составляет 228, а в случае II—242. Чистота определена хроматографически. Доказательством структуры соединений I—V является их превращение в соответствующие метилкетоны VI—X при гидролизе и декарбоксилировании. В противоположность глицидным эфирам [3—5] вышеуказанные соединения декарбоксилируются с трудом и реакция может быть доведена до конца лишь сухой перегонкой.

Чистота жетонов VI—X определена хроматографически; время их удерживания приведено в табл. 2, а структура установлена данными ИК ( $v_{C=0}$  1720—1730 см-1) и ПМР спектров, в которых протоны ацетильной группы проявляются в виде синглета при 2,05 м. д. Масса молекулярного вона 2,2-диметил-4-ацетилтетрагидропирана 156. Бромированием 2,2-диметил-4-ацетилтетрагидропирана получен 2,2-диметил-4-бром-4-ацетилтетрагидропиран XI, в ПМР спектре которого протоны

ацетильной группы резонируют при 2,35 м. д. В условиях реакции Реформатокого кетоны VI—VII образуют соответствующие β-оксиэфиры XII, XIII, идентифицированные данными ИК спектров.

X = 0; S; R и  $R_1 = H$  или алкил

## Экспериментальная часть

Хроматографический анализ проведен по методу [8]. ИК спектры сняты на приборе UR-20, ПМР спектры—на ЯМР Т-60 (60 *МГц*), масс-спектры—на МХ-1303 с изпользованием системы прямого ввода образцов в ионный источник.

2,4,4-Триметил-2-карбэтокси-1,5-диоксаспиро(2,5) октан (I). К суспезии 12,5 г мелкораздробленного натрия в 100 мл толуола прикапывают в течение 1,5 часа смесь 64 г 2,2-диметилтетрагидропиран-4-она, 68,75 г этилового эфира α-хлорпропионовой кислоты и 50 мл толуола. Реакцию начинают при 20—25° и, охлаждая льдом, поддерживают температуру в пределах 10—15° до окончания прикапывания. После реагирования всего натрия добавляют 2—3 мл этанола и через 0,5 часа обрабатывают водой, экстрагируют эфиром, промывают водой и сушат над сульфатом магния. После удаления эфира и толуола перегоняют в вакууме. Выход 65,0 г (56,9%). Характеристики данного и остальных глицидных эфиров (I—V) приведены в табл. 1.

2,2-Диметил-4-ацетилгетрагидропиран (VI). К 67,0 г 30% раствора едкого натра при перемешивании в течение 15 мин. прибавляют 114,0 г глицидного эфира І. Продолжают перемешивание еще 0,5 часа при 30—35°. Полученную натриевую соль глицидной кислоты нагревают до 80—90° и в течение 2 час. прикапывают 0,5 моля 15—20% раствора.

соляной кислоты. Образовавшийся кетон перегоняют с водяным паром до объема дистиллята 0,5 л. Дистиллят насыщают хлористым натрием, дважды экстрагируют эфиром по 80,0 мл. Эфирные экстракты сушат над сульфатом магния, отгоняют растворитель, остаток перегоняют в вакууме. Выход 19 г (24,8%), т. кип. 95°/10 мм, про 14525. После экстрагирования недекарбоксилированной кислоты эфиром, сушки над сульфатом магния и сухой перегонки получают еще 9,9 г кетона VI. Общий выход составляет 28,9 г (37,0%).

Глицидные эфиры I-V

Таблица 1

IIIc-	V		D	T. 0/0	Т. кип.,		Найде	но, <sup>0</sup> / <sub>0</sub>	Вычис	лено,	d <sub>4</sub> <sup>20</sup>	
Соединс-	Х	R <sub>1</sub>	R <sub>2</sub>	Выход,	°С/мм	n <sub>D</sub> <sup>20</sup>	С	н	С	Н	04	
1	0	СН,	СН,	57	120—123/3	1,4550	63,00	9,31	63,14	8,82	1,0561	
11	0	CH <sub>3</sub>	C <sub>2</sub> H <sub>5</sub>	33	122123/4	1,4580	65,05	9,50	64,44	9.15	1,0559	
III	0	Н	<i>изо-</i> С <sub>3</sub> Н <sub>7</sub>	23	112-114 2,5	1,4564	64,12	9,31	64,44	9,15	1,0419	
IV	0	Н	C <sub>3</sub> H <sub>7</sub>	25	116-118/3	1,4553	63,92	9,01	64,44	9,15	1,0411	
V	S	CH <sub>3</sub>	CH <sub>3</sub>	37	132—134/3	1,4931	59,06	8,80	59,00	8,25	1,0577	

Характеристики данного и остальных кетонов (VI—X) приведены в табл. 2.

2,2-Диметил-4-бром-4-ацетилтетрагидропиран (XI). К 11 г (0,07 моля) 2,2-диметил-4-ацетилтетрагидропирана и 50 мл ледяной уксусной кислоты при охлаждении водой прикапывают 11,2 г (0,07 моля) брома с такой скоростью, чтобы температура реакционной смеси не превышала 10—15°. Перемешивают еще 1 час и при 5—10° нейтрализуют раствором поташа до основной реакции. Экстрагируют эфиром, промывают водой, сушат над сульфатом магния. После удаления эфира остаток перегоняют в вакууме. Получают 10 г (60,8%) бромкетона XI, т. кип. 92—93°/4 мм, п20 1,4950. Найдено %: С 45,56; Н 6,80; Вг 33,85. С9Н<sub>16</sub>О2Вг. Вычислено %: С 45,93; Н 6,43; Вг 33,98.

Этиловый эфир β-метил-β-окси-β-(2,2-диметил-4-тетрагидропиранил)-пропионовой кислоты (XII). К 6,1 г (0,1 г-ат) цинковых стружек при 60° добавляют 5 мл раствора, приготовленного из 15,6 г (0,1 моля) 2,2-диметил-4-ацетилтетрагидропирана, 16,7 г (0,1 моля) этилового эфира бромуксусной кислоты, 10 мл абс. эфира и 15 мл сухого бензола. Через 3—5 мин. начинается реажция, после чего при той же температуре при-капывают оставшийся раствор в течение 30 мин. и продолжают перемешивание до исчеэновения цинка. Охлаждают льдом и разлагают комплекс 10% серной кислотой до кислой реакции. Экстрагируют эфиром, промывают водой, сушат над сульфатом магния. После удаления растворителей остаток перегоняют в вакууме. Получают 13,4 г (60,0%) β-оксиэфира XII, т. кип. 132—134°/3,5 мм, проможения проможения 1,4626, стратируют объекты выстрання XII, т. кип. 132—134°/3,5 мм, проможения проможения проможения инислено %: С 63,87; Н 9,90.

Соедине-	x	R <sub>1</sub>	R <sub>2</sub>	Buxoa, °/o	Т. кип., °С/мм	n <sup>20</sup>
VI	0	СН,	СН,	37	95/10	4,4525
VII	0	CH <sub>3</sub>	C <sub>2</sub> H <sub>5</sub>	17	75—76/3	1,4560
VIII	0	Н	u30-C₃H₁	36	92—93/5	1,4571
1X	0	Н	C <sub>3</sub> H <sub>1</sub>	52	94 — 95/4	1,4562
X	S	CH <sub>3</sub>	CH,	23	9495/4	1,4920

Кетоны VI—X

	Время	Найле	Найдено, %		ено, <sup>6</sup> / <sub>6</sub>		N,	°/.
d <sub>4</sub> <sup>20</sup>	удержи- вания, <i>мин/</i> °С	С	Н	С	Н	Т. пл. ДНФГ, °C	пайдено	вычис-
0,9808	2,3/157	69,50	10.60	69,13	10,30	115,5-116	17,08	16,60
0,9794	2,7/154	70,30	10,89	70,55	10,66	116-116.5	16,61	16,00
0,9662	2,6/154	70,21	11,10	70,55	10,66	108—109	15,83	16,00
1,0258	2,15/165	70,84	10,85	70,55	10,66	_	_	
1,0019		63,02	9,00	63,15	8,77	131-132	15,81	15,89

Этиловый эфир  $\beta$ -метил- $\beta$ -окси- $\beta$ -(2-метил-2-этил-4-тетрагидропиринил) пропионовой кислоты (XIII). Аналогичным способом из 5,0 г 2-метил-2-этил-4-ацетилтетрагидропирана, 1,9 г цинковых стружек, 5 г этилового эфира бромуксусной кислоты получают 3,5 г (52,3%)  $\beta$ -окси-эфира (XIII), т. кип. 137—138/3 мм,  $n_D^{20}$  1,4640,  $d_A^{20}$  1,0374. Найдено %: С 69,62; N 10,20.  $C_{14}H_{26}O_4$ . Вычислено %: С 69,42; Н 10,79.

# 4–ԱՑՆՏԻԼՏԵՏՐԱՀԻԴՐՈՊԻՐԱՆՆԵՐԻ ԵՎ 4–ԱՑԵՏԻԼՏԵՏՐԱ– ՀԻԳՐՈԹԻՈՊԻՐԱՆԻ ՍԻՆԹԵԶԻ ՄԵԹՈԳ

Ռ. Հ. ԿՈՒՌՈՑԱՆ, Ա. Ի. ՄԱՐԿՈՍՅԱՆ և Ս. Հ. ՎԱՐԴԱՆՅԱՆ

Մշակված է 2,2-դիալկիլ-4-ացետիլտետրահիդրոպիրանների և 2,2-դիմե-Բիլ-4-ացետիլտետրահիդրոթիոպիրանի սինթեզի մեթոդ և ուսումնասիրված են նրանց մի քանի փոխարկումները։

# SYNTHESIS OF 4-ACETYLTETRAHYDROPYRANS AND 4-ACETYLTETRAHYDROTHIOPYRAN

R. H. KUROYAN, A. I. MARKOSSIAN and S. H. VARTANIAN

A method for the synthesis of 2,2-dialkyl-4-acetyltetrahydropyrans and 2,2-dimethyl-4-acetyltetrahydrothiopyran has been elaborated. Moreover, a few conversions of the synthesized compounds have been studied.

#### ЛИТЕРАТУРА

- 1. Р. А. Куроян, А. Г. Паносян, Н. А. Куроян, С. А. Вартанян, Арм. хим. ж., 27, 945 (1974).
- 2. С. А. Вартанян, Р. А. Куроян, А. Г. Паносян, Н. А. Куроян, Авт. свид. СССР № 471361, Бюлл. нзобр. № 19 (1975).
- 3 С. А. Вартанян, Р. А. Куроян, С. А. Минасян, Арм. хнм. ж., 25, 173 (1972).
- 4. Р. А. Куроян Н. С. Арутюнян, С. А. Минасян, С. А. Вартанян, Арм. хим. ж., 30, 516 (1977).
- 5. Р. А. Куроян, С. А. Минасян, Ф. В. Дангян, Н. С. Арутюнян, С. А. Вартанян, Авт. свид. СССР № 550389, Бюлл. изобр. № 10 (1977).
- V. Prelog, E. Cerkovnikov, M. S. Helmbach, Collect. Czech. Chem. Communs., 10, 399 (1938).
- 7. H. R. Heze, R. L. Mekee, J. Am. Chem. Soc., 64, 1672 (1942).
- 8. Р. А. Куроян, С. А. Минасян, С. А. Вартанян, Арм. хим. ж., 28, 209 (1975).

УДК 547 8107

# СИНТЕЗ И НЕКОТОРЫЕ ПРЕВРАЩЕНИЯ ФУНКЦИОНАЛЬНО ЗАМЕЩЕННЫХ И НЕЗАМЕЩЕННЫХ ЭФИРОВ ПРОПИОНОВЫХ КИСЛОТ ТЕТРАГИДРОПИРАНОВОГО РЯДА

Р. А. КУРОЯН, Н. С. АРУТЮНЯН н С. А. ВАРТАНЯН

Институт тонкой органической химин им. А. Л. Миджояна АН Армянской ССР, Ереван

Поступило 29 VI 1979

На основе алкилзамещенных 4-формилтетрагидропиранов разработаны метолы получения эфиров β-оксипропионовых, акриловых, пропионовых кислот, их аминоэфиров, амидов и гидразидов, содержащих в β-положении тетрагидропирановое кольцо. Табл. 4, библ. ссылок 4.

Недавно нами сообщалось о синтезе функционально замещенных и незамещенных пропионовых кислот пиперидинового [1] и тетрагидротиопиранового [2] рядов. Для изучения изменения биологической активности этого ряда соединсний при замене гетероатома гетероцикла на кислород нами разработаны методы синтеза некоторых ранее неизвестных пропионовых кислот тетрагидропиранового ряда. В качестве исходных веществ использованы 4-формилтетрагидропираны [3], взаимодействием которых с этилбромацетатом в присутствии цинка получены βоксиэфиры VII—XII, а с карбэтоксиметилентрифенилфосфораном [4]— эфир акриловой кислоты XIII. Гидрированием XIII и этилового эфира β-(2-метил-2-этил-4-тетрагидропиранил) акриловой кислоты в присутствии Р1 катализатора получены соответственно XIV, XV (см. схему).

Для испытания биологических свойств нами получены аминоэфиры XVI—XXVI, XXVII—XXX и XXXI—XXXV.

Строение полученных  $\beta$ -оксиэфиров VII—XIII, эфиров и их аминоэфиров подтверждено данными ИК спектров, где проявляются поглощения гидроксильной (3300—3500  $cm^{-1}$ ), непредельной (1650  $cm^{-1}$ ) и сложноэфирной групп (1720—1730  $cm^{-1}$ ).

Синтезированы также амиды акриловой (XL) и β-оксипропионовой (XLI) кислот, *пі/е* которых соответственно равны 197 и 215. Гидразиды XLII—XLV синтезированы взаимодействием соответствующих эфиров с гидразингидратом или фенилгидразином, строение которых также установлено ИК и масс-спектрами. Так, например, *пі/е* гидразида XLIII 292, а XLII 216. Проведено изучение противосудорожных, психотропных, ко-

ронарорасширяющих, адренергических, противовоспалительных и антибактериальных свойств синтезированных соединений. Установлено, что соединения обладают слабо выраженным коронарорасширяющим свойством.

### Экспериментальная часть

ИК спектры сняты на приборе UR-20, масс-спектры—на МХ-1303. Этиловые эфиры β-окси-β-[2-алкил(диалкил)-4-тетрагидропиранил]-пропионовых кислот (VII—XII). К 12 г (0,18 г-ат) цинковых стружек при перемешивании добавляют 15—20 мл раствора, полученного из 28,4 г (0,17 моля) этилбромацетата, 0,16 моля одного из альдегидов I—VI в 25 мл сухого бензола, 10 мл абс. эфира. До начала реакции нагревают колбу. Смесь перемешивают и постепенно прибавляют оставшийся раствор так, чтобы смесь умеренно кипела, персмешивание продолжают еще 1,5 часа, охлаждают колбу в ледяной бане и обрабатывают 15% серной кислотой до кислой реакции. Экстрагируют эфиром, промывают водой, сушат над сульфатом магния и после отгонки эфира остаток перегоняют в вакууме. Выходы и константы полученных β-оксиэфиров VII—XII приведены в табл. 1.

Аминоэфиры β-окси-β-[2алкил(диалкил)-4-тетрагидропиранил] пропионовых кислот (XVI—XXVI). 0,02 моля натриевой соли β-оксиэфиров VII—XII, приготовленной по [3], 0,022 моля γ(β)-аминохлорида и 30 мл диметилформамида при перемешивании нагревают 8 час. при 100—110°. Отгоняют растворитель, экстрагируют эфиром, промывают водой, сушат над сульфатом магния. После отгонки эфира остаток перегоняют в вакууме. Выходы и константы аминоэфиров XVI—XXVI приведены в табл. 2.

Этиловый эфир β-(2,2-диметил-4-тетрагидропиранил) акриловой кислоты (XIII). К суспензии 34,8 г (0,1 моля) карбэтокоиметилентрифенилфосфорана в 50 мл бензола прибавляют при комнатной температуре

14,2 г (0,1 моля) альдегида I [3] и реакционную массу перемешивают 4,5 часа при 80°. Отгоняют растворитель, остаток промывают эфиром, эфир отгоняют, остаток перегоняют в вакууме. Получают 18,6 г (88%) эфира XIII. Т. жип. 98—100°/2 мм,  $n_D^{20}$  1,4690,  $d_T^{20}$  1,0060. Найдено %: С 68,00; Н 9,40.  $C_{12}H_{20}O_3$ . Вычислено %: С 67,89: Н 9,49.

Таблица /

	17.7			0,0	H,	º/o				
Соедине- ине	R <sub>1</sub>	Ra	Выход, •	Т. кііп., °С/мм	n 20	d <sup>20</sup>	найдено	вычис-	найдено	вычис-
VII	СН	н	52	120—121/2	1,4640	1,0643	61,21	61,08	9,25	9,32
VIII	изо-С <sub>3</sub> Н <sub>7</sub>	Н	67	142—144,3	1,4665	1,0510	61,04	63,90	9,83	9,90
IX	H-C3H7	Н	71	135—136/2	1,4630	1,0300	64,06	63,90	10.02	9,90
X	CH <sub>3</sub>	CH <sub>3</sub>	90	129—131/2	1,4650	1,0558	62,51	62,58	9,56	9,62
XI.	C <sub>3</sub> H <sub>5</sub>	C <sub>2</sub> H <sub>5</sub>	82	148—151/2	1,4710	1,0310	65,14	65,08	10,21	10,14
XII	H-CaHa	CH3	85	147-149/2	1,4670	1,0226	65,16	65,08	10,24	10,14

Этиловый эфир  $\beta$ -(2,2-диметил-4-тетрагидропиранил) пропионовой кислоты (XIV). 10 г акрилового эфира XIII в 30 мл абс. этанола в присутствии платинового катализатора гидрируют в течение 30 час. После отгонки спирта остаток перегоняют в вакууме. Получают 8,5 г (85,0%) эфира XIV. Т. кип.  $100-102^{\circ}/3$  мм,  $n_D^{20}$  1,4510,  $d_4^{20}$  0,9720. Найдено %: С 67,20; Н 10,41.  $C_{12}H_{22}O_3$ . Вычислено %: С 67,25; Н 10,34.

Этиловый эфир  $\beta$ -(2-метил-2-этил-4-тетрагидропиранил) пропионовой кислоты (XV). Аналогично из 6 г этилового эфира  $\beta$ -(2-метил-2-этил-4-тетрагидропиранил) акриловой кислоты [5] получают 5,7 г (95,0%) эфира XV. Т. кип.  $104^\circ$ /2 мм,  $n_D^{\circ}$  1,4520,  $d^{20}$  0,9665. Найдено %: С 68,30; Н 10,64.  $C_{13}H_{24}O_3$ . Вычислено %: С 68,38; Н 10,59. Аминоэфиры XXVII—XXX и XXXI—XXXIII получены аналогично XVI—XXVI. Қонстанты приведены в табл. 3 и 4.

β-(2,2-Диметил-4-тетрагидропиранил) акриловая кислота (XXXVI). К раствору 5,2 г (0,13 моля) едкого натра в 15 мл воды при перемешивании прикапывают 27,5 г (0,13 моля) эфира акриловой кислоты XIII. После экзотермической реакции перемешивают еще 1 час при 60—65°. Нейтрализуют соляной кислотой, экстрагируют эфиром, сушат над сульфатом магния, отгоняют растворитель, остаток перегоняют в вакууме. Получают 16,5 г (69,3%) акриловой кислоты XXXVI. Т. пл. 102°. Найдено %: С 65,11; Н 8,81. С<sub>10</sub>Н<sub>16</sub>О<sub>3</sub>. Вычислено %: С 65,19; Н 8,75.

 $\beta$  - (2 - Метил-2 - этил - 4 - тетрагидропиранил) акриловая кислота (XXXVII). Аналогично из 22,6 г (0,1 моля) этилового эфира  $\beta$ -(2-метил-2-этил-4-тетрагидропиранил) акриловой кислоты [5] и 4 г едкого натра в 20 мл воды получают 17,4 г (87,8%) XXXVII. Т. пл. 68°. Найдено %: С 66,55; Н 9,21. С<sub>11</sub>Н<sub>18</sub>О<sub>3</sub>. Вычислено %: С 66,64; Н 9,15.

İVXX—IVX ыдифеоник

	-			%	200		C,	°/0	H.	°/a	N.	0/0	Т. ил.
Соедине-	Rı	R <sub>2</sub>	R <sub>3</sub>	Выход,	Т. кип., °С/мм	n <sup>20</sup>	найдено	вычис-	найдено	вычис- лено	найдено	яычис-	гидро- хлорида или окса- лата*, °С
xvi	СН,	CH,	(CH <sub>2</sub> ) <sub>2</sub> N(CH <sub>3</sub> ) <sub>2</sub>	64	163165/2	1,4715	61,58	61,51	9 90	9,95	5,19	5,12	78
XVII	CH,	CH <sub>3</sub>	(CH <sub>2</sub> ) <sub>3</sub> N(CH <sub>3</sub> ) <sub>2</sub>	60	173-175/2	1,4730	62,76	62,68	10.24	10,17	4,78	4,87	81
XVIII	CH <sub>3</sub>	CH <sub>3</sub>	(CH <sub>2</sub> ) <sub>3</sub> N(C <sub>2</sub> H <sub>5</sub> ) <sub>2</sub>	55	178—180/2	1,4760	64,80	64,72	10,61	10,54	4,38	4,44	52
XIX	СН	CH <sub>3</sub>	(CH <sub>2</sub> ) <sub>3</sub> N	59	175—177/1	1,4830	65,95	66,02	10,22	10,15	4,21	4,27	88
хx	СН3	СН	(CH <sub>2</sub> ) <sub>2</sub> N O	57	208/3	1,4895	62,06	61,98	9,41	9,48	4,31	4,25	70
XXI	Н	CH <sub>3</sub>	(CH <sub>2</sub> ) <sub>3</sub> N(C <sub>2</sub> H <sub>5</sub> ) <sub>3</sub>	70	174/2	1,4740	63,68	63,75	10,28	10,36	4,71	4,64	гигр.
XXII	н	C <sub>3</sub> H <sub>7</sub>	(CH <sub>2</sub> ) <sub>3</sub> N(CH <sub>3</sub> ) <sub>3</sub>	50	183-185/2	1,4660	63,79	63,75	10,39	10,36	4,59	4,64	61*
XXIII	Н	изо-С.Н.	(CH <sub>2</sub> ) <sub>3</sub> N(CH <sub>3</sub> ) <sub>3</sub>	49	200-202/2	1,4740	63,83	63,75	10,43	10,36	4.57	4,64	74*
VIXX	CH <sub>3</sub>	C <sub>2</sub> H <sub>5</sub>	(CH <sub>2</sub> ) <sub>3</sub> N(C <sub>2</sub> H <sub>5</sub> ) <sub>2</sub>	84	175—177/1	1,4760	65,68	65,61	10,62	10,70	4,31	4 25	59
xxv	CH <sub>3</sub>	C <sub>2</sub> H <sub>5</sub>	(CH <sub>2</sub> ) <sub>3</sub> N	81	210-211/2	1,4900	66,75	66,82	10,41	10,33	4,18	4,10	108,93*
xxvi	СН	C <sub>2</sub> H <sub>5</sub>	(CH <sub>2</sub> ) <sub>3</sub> N 0	85	231—231/4	1,4910	63 02	62.94	9,73	9,68	4,13	4,07	59*

Соедине-	R <sub>1</sub>	R <sub>2</sub>	Выход, %
XXVII	СНа	(CH <sub>2</sub> ) <sub>3</sub> N(CH <sub>3</sub> ) <sub>2</sub>	61
IIIVXX	CH3	(CH <sub>2</sub> ) <sub>3</sub> N(C <sub>2</sub> H <sub>5</sub> ) <sub>3</sub>	83
XXIX	CH2	(CH <sub>2</sub> ) <sub>3</sub> N	58
xxx	C <sub>2</sub> H <sub>8</sub>	(CH <sub>2</sub> ) <sub>3</sub> N(CH <sub>3</sub> ) <sub>3</sub>	62

XXXI	Cu	(CHANGUA)	52
VVVI	CH <sub>3</sub>	(CH <sub>2</sub> ) <sub>3</sub> N(CH <sub>3</sub> ) <sub>3</sub>	53
XXXII	CII3	(CH <sub>2</sub> ) <sub>3</sub> N(C <sub>2</sub> H <sub>5</sub> ) <sub>3</sub>	69
XXXIII	C <sub>2</sub> H <sub>5</sub>	$(CH_2)_3N(CH_3)_2$	70
XXXIV	C <sub>2</sub> H <sub>5</sub>	(CH <sub>2</sub> ) <sub>3</sub> N(C <sub>2</sub> H <sub>5</sub> ) <sub>3</sub>	76
XXXV	C <sub>2</sub> H <sub>5</sub>	(CH <sub>2</sub> ) <sub>2</sub> N(CH <sub>3</sub> ) <sub>3</sub>	76

Таблица 3

<b>Аминоэф</b>	иры ХХ	VII—XXX
----------------	--------	---------

7 7 7		C.	°/•	Н,	°/+	N,	0/0	Т. пл.
Т. кип., °С/.и.м	π <sup>20</sup>	найдено	вычис-	пвйдено	вычис-	найдено	вычис-	гидро- жлорида или окса- лата*, °С
147-149/2	1,4705	66,94	66,88	9,98	10,10	5,28	5,20	74
157—159/2	1,4712	68,58	68,64	10,60	10,50	4,62	4,70	69*
170—173/2	1,4900	69,78	69,86	10,13	10.09	4,46	4,52	88*
153—156/2	1,4760	67,72	67,80	10.25	10,31	4,86	4,94	135

Таблица 4

# Аминоэфиры XXXI—XXXV

149/2	1,4535	66,33	66,38	10,72	10,66	5,18	5,11	78
160-161/2	1,4630	68,22	68,18	11,03	11,10	4,58	4,67	65*
153-155/2	1,4595	67,22	67,32	11,00	10,94	4,94	4,90	82
160 - 163/1	1,4650	69,60	68,96	11,28	11,25	4,50	4,46	73*
145-147/2	1,4620	66,41	66,38	10,71	10,77	5, 10	5,16	116*
							5, 16	116*

Хлорангидрид  $\beta$ -(2,2-диметил-4-тетрагидропиранил) акриловой кислоты (ХХХVIII). Смесь 15,5 г (0,084 моля) кислоты ХХХVI. 11,9 г (0,1 моля) хлористого тионила и 30—35 мл сухого бензола, перемешивая, нагревают 1,5 часа при 55—60°. Отгоняют растворитель, остаток перегоняют в вакууме. Получают 14,0 г (82,3%) хлорангидрида кислоты ХХХVIII,  $n_D^{20}$  1,4975. Найдено %: С 59,18; Н 7,40; СІ 17,54.  $C_{10}H_{15}CIO_2$ . Вычислено %: С 59,26; Н 7,46; СІ 17,49.

Хлорангидрид  $\beta$ -(2-метил-2-этил-4-тетрагидропиранил) акриловой кислоты (XXXIX). Аналогично из 8 г (0,04 моля) кислоты XXXVII, 6.5 г (0,055 моля) хлористого тионила и 15—20 мл сухого бензола получают 5,6 г (64,3%) хлорангидрида XXXIX. Т. кип.  $108-110^{\circ}/2$  мм, 1.4990. Найдено %: С 61,02; Н 7,84; Сl 16,29.  $C_{11}\tilde{H}_{17}ClO_{2}$ . Вычислено %: 60,96; Н 7,84; Сl 16,29.

Амид  $\beta$ -(2,2-оиметил-4-тетрагидропиранил) акриловой кислоты (XL). 50 мл абс. эфира при охлаждении льдом насыщают 1,7 г (0,1 моля) сухого аммиака, постепенно добавляют 9,2 г (0,05 моля) хлорангидрида XXXVIII. Через день обрабатывают раствором поташа, экстрагируют эфиром, сушат над сульфатом магния. После отгонки эфира остаток перегоняют в вакууме. Получают 8,4 г (93,1%) амида XL. Т. пл. 115° (этплацетат). Найдено %: С 65,39; Н 9,42; N 7,58.  $C_{10}H_{17}NO_2$ . Вычислэно %: 65,54; Н 9,35: N 7,64.

Амид  $\beta$ -окси- $\beta$ -(2-метил-2-этил-4-тетрагидропиранил) пропионовой кислоты (XLI). В стеклянную ампулу помещают 5 г (0,02 моля) этилового эфира  $\beta$ -окси- $\beta$ -(2-метил-2-этил-4-тетрагидропиранил) пропионовой кислоты [5] и 0,03 моля 25% водного аммижка. Ампулу запашвают и оставляют до образования гомогенной массы (около 60 час.). После удаления воды остаток перетоняют в вакууме. Получают 3 г (68,1%) амида XLI. Т. кип. 175—178°/2 мм,  $n_D^{20}$  1,4980. Найдено %: С 61,30; Н 9,90; N 6,42.  $C_{12}H_{21}NO_3$ . Вычислено %: С 61,36; Н 9,83; N 6,50.

Гидразид  $\beta$ -окси- $\beta$ -(2,2-диметил-4-тетрагидропиранил) пропионовой кислоты (XLII). Смесь 3 г (0,013 моля) эфира кислоты VII и 0,6 г (0,013 моля) пидразингидрата нагревают с обратным холодильником при 100—110° 1 час. После удаления легких фракций остальная масса кристаллизуется. Получают 2,6 г (94,0%) гидразида XLII. Т. пл. 139° (петр. эфир). Найдено %: С 55,61; Н 9,26; N 13,04.  $C_{10}H_{20}N_2O_3$ . Вычислено %: С 55,53; Н 9,32; N 12,95.

Фенилгидразид  $\beta$ -окси- $\beta$ -(2,2-диметил-4-тетрагидропиранил) пропионовой кислоты (XLIII). Аналогично нз 8 г (0,034 моля)  $\beta$ -окси- $\beta$ -(2-метил-2-этил-4-тетрагидропиранил) пропионовой кислоты [5] и 3,7 г (0,035 моля) фенилгидразина получают 4 г (39,6%) гидразида XLIII. Т. пл. 163° (петр. эфир). Найдено %: С 65,77; Н 8,32; N 9,63.  $C_{16}H_{24}N_2O_3$ . Вычислено %: С 65,72; Н 8,27; N 9,58.

Гидразид β-(2-метил-2-этил-4-тетрагидропиранил) акриловой кислоты (XLIV). Аналогичным способом из 3 г (0,013 моля) этилового эфира β-(2-метил-2-этил-4-тетрагидропиранил) акриловой кислоты [5] и 0,6 г (0,013 моля) гидразингидрата получают 2,2 г (81,2%) гидразида

XLIV. Т. пл. 52° (спирт). Найдено %: С 62,27; Н 9,56; N 13,26.

C<sub>11</sub>H<sub>20</sub>N<sub>2</sub>O<sub>2</sub>. Вычислено %: С 62,23; Н 9,49; N 13,19.

 $\Gamma$ идразид  $\beta$ -(2-метил-2-этил-4-тетрагидрапиранил) пропионовой кислоты (XLV). Аналогично из 4 г (0,017 моля) эфира [5] и 1,7 г (0,035 моля) гидраэннгидрата получают 3,4 г (92,3%) гидразида XLV. Т. кип. 154—157°/4 мм,  $n_D^{20}$  1,4843. Найдено %: С 61,57; Н 10,40; N 13,18.  $C_{11}H_{22}N_2O_2$ . Вычислено %: С 61,64; Н 10,34; N 13,07.

ՏԵՏՐԱՀԻԴՐՈՊԻՐԱՆԻ ՕՂԱԿ ՊԱՐՈՒՆԱԿՈՂ ՖՈՒՆԿՑԻՈՆԱԼ ՏԵՂԱԿԱԼՎԱԾ ԵՎ ՉՏԵՂԱԿԱԼՎԱԾ ՊՐՈՊԻՈՆԱԹԹՈՒՆԵՐԻ ԷՍԹԵՐՆԵՐԻ ՍԻՆԹԵԶԸ ԵՎ ՄԻ ՔԱՆԻ ՓՈԽԱՐԿՈՒՄՆԵՐԸ

Ռ. Հ. ԿՈՒՌՈՏԱՆ, Ն. Ս. ՀԱՐՈՒԹՅՈՒՆՅԱՆ L U. Հ. ՎԱՐԳԱՆՅԱՆ

Կենսաբանական Հատկությունները ստուգելու Համար սինթեզվել են տետրահիդրոպիրանային շարքի ֆունկցիոնալ տեղակալված և չտեղակալված պրոպիոնաթթուներ և նրանց ամինոէսթերները, մի շարք ամիդներ և հիդրաղիդներ։ Փորձարկումներից պարզվել է, որ այդ շարքի միացությունները ցուցաբերում են կորոնար անոթնները լայնացնելու Հատկություն։

# SYNTHESIS AND SOME TRANSFORMATIONS OF FUNCTIONALLY SUBSTITUTED AND NON-SUBSTITUTED PROPIONIC ACID ESTERS CONTAINING A TETRAHYDROPYRAN RING

R. H. KUROYAN, N. S. HAROUTYUNIAN and S. H. VARTANIAN

Functionally substituted and non-substituted propionic acids and their aminoesters, a number of amides and hydrazides have been synthesized with the aim of investigating their biological properties.

It was established that these compounds display coronaro-dilating

properties.

#### ЛИТЕРАТУРА

1. Р. А. Куроян, Н. С. Арутюнян, С. А. Вартанян, Арм. хим. ж., 32, 555 (1979).

2. Р. А. Куроян, Н. С. Арутюнян, С. А. Вартанян, Арм. хим. ж., 32, 546 (1979).

3. Р. А. Куроян, Н. С. Арутюнян, С. А. Минасян, С. А. Вартанян, Арм. хим. ж., 30, 516 (1977).

4. O. Isler, H. Gutmann, M. Montavon, R. Rügge, G. Ryser, P. Zeller, Helv. Chim Acta, 40, 1242 (1957).

УДК 547.833.3

### производные изохинолина

XVII. НЕКОТОРЫЕ 2-(N,N-ДИАЛКИЛАМИНОАЛКИЛ) -6,7-ДИМЕТОКСИ--4,4-ДИЭТИЛ-1,2,3,4-ТЕТРАГИДРОИЗОХИНОЛИНЫ

#### А. С. АВЕТИСЯН и Э. А. МАРКАРЯН

Институт тонкой органической химии им. А. Л. Миджояна АН Армянской ССР, Ереван Поступило 30 VI 1979

Конденсвцией 6.7-диметокси-4,4-диэтнл-1,2,3,4-тетрагидроизохинолина (I) с хлорангидридами хлоруксусной и β-хлорпропионовой кислот получены амидохлориды II, IIа. Последние взаимодействием с диметил (или диэтил) амином превращены в аминоамиды III—VI, восстановленные алюмогидридом лития (АГЛ) до соответствующих диаминов VII—X. Изучена антиаритмическая активность полученных соединений.

Табл. 1, библ. ссылок 6.

В предыдущем сообщении было показано, что 2,4,6,7-замещенные 1,2,3,4-тетрагидроизохинолины с арилалкильными заместителями во втором положении обладают умеренно выраженной симпатолитической активностью [1]. С этой точки эрения было интересно проследить, как изменится активность этих соединений, если вместо арилалкильных заместителей ввести диалкиламиноалкильные по аналогии с [2—4].

Синтез был осуществлен по схеме

Конденсация 6,7-диметокои-4,4-диэтил-1,2,3,4-тетрагидроизохинолина (I) с хлорангидридами хлоруксусной и β-хлорпропионовой кислот привела к соответствующим амидохлоридам II, IIa [2, 5]. Показано, что для хлорангидрида хлоруксусной кислоты выход II независимо от температуры условий реакции около 90%. В случае же хлорангидрида β-хлорпропионовой кислоты в интервале 0—28° выход амидохлорида IIa составлял 45,2-48,1%; нагревание реакционной смеси привело к повышению выхода целевого продукта до 81,9-82,2%. Ваимодействием амидохлоридов II, IIa при нагревании с диметил (или диэтил) аминами получены соответствующие аминоамиды III-VI (табл.), охарактеризованные в виде тартратов, т. к. гидрохлориды, цитраты, малеаты, а также оксалаты III-VI в кристаллическом виде выделить не удалось. Дальнейшее восстановление III-VI АГЛ привело к днаминам VII-X (табл.), охарактеризованным в виде дигидрохлоридов. Антиаритмическое действие соединений III-X было проверено в лаборатории коронарного кровообращения Василяном по методике [6], одновременно было проверено гипотензивное действие. Показано, что они не обладают противоаритмическим, а также гипотензивным действием, за исключением IX (n=2, R=CH<sub>3</sub>), который обладал слабо выраженным гипотензивным свойством (10 мм рт. ст. в течение 5—6 мин). Адренолитическое и психофармакологическое свойства соединений ІІІ-Х не представляют интереса.

# Экспериментальная часть

ИК спектры сняты в вазелиновом мясле на приборе UR-20. ТСХ проведена на незакрепленном слое окиси алюминня I степени активности, подвижная фаза: бензол—адетон (1:1). БХ проведена на бумаге марки «С», подвижная фаза: бутанол—уксусная кислота—вода (10:3:1). Проявитель—пары йода.

6,7-Диметокси-4,4-диэтил-2-хлорацетил-1,2,3,4-тетрагидроизохинолин (II). К 2,24 г (0,02 моля) хлорангидрида хлоруксусной кислоты в 150 м.х бензола при перемешивании прыкапывают смесь 4,58 г (0,02 моля) 6,7-диметокси-4,4-диэтил-1,2,3,4-тетрагидроизохинолина (I) и 1,58 г (0,02 моля) пиридина в 50 мл бензола. Реакционную смесь перемешивают при комнатной температуре 6 час. Отфильтровывают, фильтрат промывают 10% раствором соляной кислоты (2 $\times$ 30 мл), затем водным раствором карбоната калия (2 $\times$ 30 мл) и сушат над сульфатом магния. Растворитель отгоняют. Остаток переосаждают из смеси бензол-эфир. Получают 5,80 г (89,2%) коричневого маслообразного продукта. Найдено %: С 62,71; Н 7,51; N 4,31; С1 10,92.  $C_{17}$   $H_{24}$   $H_{25}$   $H_{24}$   $H_{25}$   $H_{25}$ 

6,7-Диметокси-4,4-диэтил-2-хлорпропионил-1,2,3,4-тетрагидроизохинолин (IIa). Қ 2,52 г (0,02 моля) хлорангидрида β-хлорпропионовой кислоты в 150 мл бензола при перемешивании прикапывают смесь 4.58 (0,02 моля) 6,7-диметокси-4,4-диэтил-1,2,3,4-тетрагидроизохинолина и 1,58 г (0,02 моля) пиридина в 25 мл бензола. Реакционную смесь нагревают при кипении 6—8 час. Обработка апалогична II. Получают 5,58 г (82,05%) коричневого маслообразного продукта. Найдено %: С 63,81; Н 7,82; N 4,08; СІ 10,79. С<sub>18</sub>H<sub>26</sub>NO<sub>3</sub>Cl. Вычислено %: С 63,61; Н 7,71; N 4,12; СІ 10,43. ИК спектр, см<sup>-1</sup>:1590, 1525 (С=С аром.), 1640 (С=О), R<sub>1</sub> 0,68.

Таблица

$$C_{1}H_{5}$$
  $C_{2}H_{5}$ 
 $C_{1}H_{3}O - C_{1}H_{5}$ 
 $C_{1}H_{5}$ 
 $C_{2}H_{5}$ 
 $C_{1}H_{5}$ 
 $C_{2}H_{5}$ 
 $C_{1}H_{5}$ 
 $C_{2}H_{5}$ 

Тартраты аминоамидов III—VI и гидрохлориды диаминов VII—X

7.0			14 6	%		N	. %	C1,		
Соедине-	х	n	R	Выход, с	Т. пл., °С	найдено	нычис-	найдено	вычис-	
111	C=0	1	CH <sub>3</sub>	72	79—80	5,61	5,78	772	W-12	0,488
IV		1	C <sub>2</sub> H <sub>5</sub>	73	70-71	5,45	5 47	-	212	0,78ª
V		2	CH <sub>3</sub>	70	63-64	5,70	5,62	19-39	_	0,734
VI		2	C <sub>2</sub> H <sub>5</sub>	72	57—58	5,63	5,32		_	0,53ª
VII	CH <sub>2</sub>	1	CH <sub>3</sub>	78	189—190	7,266	7,12	18,09	18,02	0,52
VIII	3.2	1	C <sub>2</sub> H <sub>5</sub>	76	190—191	6,28	6,64	16,39	16,82	0,61
IX		2	CH <sub>3</sub>	77	215-216	6,87	6,87	17.12	17,40	0,53
X		2	C <sub>2</sub> H <sub>3</sub>	77	179—180	6,77	6,43	15,94	16,21	0,59

- а. ТСХ основания, бензол-ацетон (1:3).
- 6. Элементный анализ. Вычислено %. С 60,68; Н 8,79. С<sub>22</sub>Н<sub>38</sub>N<sub>2</sub>O<sub>2</sub>·2HCl. Найдено %. С 60,71; Н 8,92.

Тартраты 2-N,N-диалкиламиноацил-6,7-диметокси-4,4-диэтил-1,2,3,4-тетрагидроизохинолина (III—VI, табл.). Смесь 0,02 моля II (или IIа) и 0,04 моля диметил (или диэтил) амина в 200 мл толуола в присутствии 20 мг йодистого калия в запаянной ампуле нагревают 10 час. при 110—120°. Растворитель отгоняют. К остатку добавляют 30 мл эфира, отфильтровывают. К фильтрату по каплям добавляют ацетоновый раствор винной кислоты до слабо-кислой реакции по лакмусу, полученный тартрат переосаждают из смеси ацетон-эфир. ИК спектр, см-1: 1525, 1590 (С=С аром.), 1640 (С=О).

Дигидрохлориды 2-N,N-диалкиламиноалкил-6,7-диметокси-4,4-диэтил-1,2,3,4-тетрагидроизохинолина (VII-X, табл.). Раствор 0,01 моля аминоамида III—VI в 30 мл абс. эфира прибавляют по каплям при интенсивном перемешивании к раствору 1,17 г (0,03 моля) АГЛ в 50 мл абс. эфира. Реакционную смесь жипятят 12 час., затем прикапывают 5 мл 10% раствора гидроокиси натрия, охлаждают ледяной водой, фильтруют и фильтрат высущивают над сернокислым натрием. Растворитель отгоняют, остаток растворяют в 50 мл абс. эфира и действием эфирного раствора хлорыстого водорода получают гидрохлорид, который перекристаллизовывают из смеси спирт-эфир (4:1). ИК спектр, см -1: 1590, 1525 (С=С аром).

# Դզմանեն ԱԾԱՆՑՅԱԼՆԵՐ

XVII. በቦበሪ 2-(N,N-4)ትԱԼԿԻԼԱՄԻՆՈԱԼԿԻԼ) -6.7-4ትՄԵԹՕՔՍԻ-4.4-4ԻԷԹԻԼ-1.2.3.4-8ԵՏՐԱՀԻԴՐՈՒԶՈՔԻՆՈԼԻՆՆԵՐ

## Ա. Ս. ԱՎԵՏԻՍՅԱՆ և Է. Ա. ՄԱՐԴԱՐՅԱՆ

6,7-Դիմեթօքսի-4,4-դիէթիլ-1,2,3,4-տետրահիդրոիզոքինոլինի կոնդենսմամբ քլորքացախաթթվի և β-բլորպրոպիոնաթթվի քլորանհիդրիդների հետ ստացված են ամիդոքլորիդներ։ Վերջիններս դիմեթիլ- և դիէթիլամինների հետ փոխարկված են համապատատխան ամինոամիդների, որոնք հետագայում լիթիումալյումինիումհիդրիդի օգնությամբ վերականդնված են համապատասխան դիամինների։

Ուսումնասիրված են ստացված միացությունների հակաարիթմիկ հատ-

# 

# ISOQUINOLINE DERIVATIVES

# XVII. SOME 2-(N,N-PIALKYLAMINOALKYL)-6,7-DIMETHOXY-4,4-DIETHYL-1,2,3,4-TETRAHYDROISOQUINOLINES

#### A. S. AVETISSIAN and E. A. MARKARIAN

Condensation of 6,7-dimethoxy-4,4-diethyl-1,2,3,4-tetrahydroiso-quinoline with chloroacetic and p-chloropropionic acid chlorides has produced the corresponding amidochlorides. The latter, by interaction with dimethyl and diethylamines, were converted into the aminoamides which were subsequently reduced with lithium aluminum hydride to the corresponding diamines.

The antiarrhythmic activity of the obtained compounds has been studied.

## ЛИТЕРАТУРА

- 1. А. С. Аветисян, О. М. Авакян, А. В. Погосян, Э. А. Маркарян, Арм. хим. ж., 32, 304 (1979).
- 2. Л. Ш. Пирджанов, А. А. Агекян, Л. С. Папаян, Э. А. Миркарян, Арм. хим. ж., 31, 667 (1973).
- 3. В. М. Тихо ненко, Фармакол н токсикол., 25, 6, 698 (1962).
- 4. G. A. Stone, J. Pharmacol. Exp. Ther., 117, 169 (1956).
- Zenichi Horii, Toshio Watanube, Yukugaku Zasshi, 81, 636 (1961); C. A. 55, 23560 (1961).
- 6. Г. Берн, Функции химических передатчиков вегетативной нервной системы, ИЛ, М., 1961, стр. 45.

#### КРАТКИЕ СООБШЕНИЯ

УДК

# ОБ УСТОЙЧИВОСТИ КОМПЛЕКСОВ ИОНОВ ЩЕЛОЧНЫХ МЕТАЛЛОВ С НЕКОТОРЫМИ КРАУН-ЭФИРАМИ

И. В. КАЗИН, В. И. КЫСКИН, В. В. ГЕДЫМИН и Д. С. КАГАНЮК Научно-производственное объединение «Энергия», Москва Поступило 15 III 1978

Большое значение при разработке новых топливных композиций имеет вопрос о совмещении присадок, содержащих соли щелочных металлов с основными энергетическими компонентами. Растворимость присадок и устойчивость композиций в значительной мере определяются энергетикой взаимодействия ионов щелочных металлов с атомами ближайшего окружения. Важно найти вещества, способные давать достаточно прочные комплексы с указанными катионами. Применение квантовохимических методов может позволить существенно сузить круг рассматриваемых объектов.

В этом плане представляют интерес работы по изучению процессов комплексообразования с помощью полуэмпирических расчетных методов. В данной работе рассмотрены комплексы ионов щелочных металлов с краун-эфирами общей формулы (СН<sub>2</sub>) 2n O<sub>n</sub>. Кроме оценки прочности связи, в этих комплексах представлялось интересным выяснить, почему 12-краун-4 образует наиболее прочный комплекс с Li<sup>+</sup>, 18-краун-6 с Na<sup>+</sup>, а 24-краун-8 — с K<sup>+</sup>. [1].

Учитывая сложность объектов, а также то, что в существующих полуэмпирических методах, таких как ППДП, РМХ и т. п., как правило, получаются существенно завышенные значения энергий разрыва связей, для расчета распределения электронной плотности и прочности связей нами был использован простой метод [2], который сводится к выравниванию электроотрицательностей в виде

$$\Theta_{i} = Aq_{i}^{2} + Bq_{i} + C + K\Theta M$$

где A, B и C—параметры атома i,  $q_i$ — его эффективный заряд,  $K \ni M$ — поправка на электростатический потенциал, создаваемый всеми зарядами системы в точке атома i. В работах [3, 4], в частности, показано,

что с его помощью можно оценить распределение электронной плотности в количественном совпадении с данными, полученными в рамках вариацтов метода ab initio.

Приведем еще несколько примеров:

POF<sub>3</sub>: 
$$q_{\rm p}=+1,080,\ q_{\rm F}=-0,309,\ q_{\rm O}=-0,148$$
  $+1,11$   $-0,32$   $-0,15$  [5] (ab initio) HCP:  $q_{\rm H}=+0,220,\ q_{\rm C}=-0,368,\ q_{\rm P}=+0,148$   $+0,081$  [6] (ab initio) Fe(C<sub>3</sub>H<sub>3</sub>)<sub>2</sub>:  $q_{\rm Fe}=+0,992,\ q_{\rm C}=-0,201,\ q_{\rm H}=+0,103$   $+1,230$   $-0,310$   $+0,190$  [7] (ab initio)  $+1,020$   $-0,130$   $+0,030$  [8] (ab initio)  $+0,89$  (из спектров Мёссбауэра [9])  $C_3H_3$ :  $q_{\rm H}=+0,143,\ +0,14$  [10] (ab initio)  $\overline{O}=C \bigcirc C$ :  $q_{\rm O}=-0,248,\ q_{\rm C}=+0,572,\ q_{\rm O}=-0,162$   $-0,278$   $+0,601$   $-0,162$  [11] (ab initio) Ti(ONO<sub>2</sub>)<sub>4</sub>:  $q_{\rm Ti}=+2,07;\ +2,10$  [12] (ab initio) и т. д.

Для построения зависимости ЭО были взяты данные из [13] в предположения, что основная и возбужденные конфигурации вносят в результирующий уровень вклад, пропорциональный максимальной мультиплетности их основных термов, эткуда

$$\Im O_{H} = 109,8q_{H}^{2} + 219,2q_{H} + 109,7 (1s)$$

$$\Im O_{O} = 27,85q_{O}^{2} + 147,5q_{O} + 126,9 (2p)$$

$$\Im O_{C} = 28,00q_{C} + 119,2q_{C} + 105,7 (2s, 2p)$$

Поскольку данные о геометрии комплексов в растворах в литературе отсутствуют, возьмем для расчетов стандартные значения структурных параметров:  $R_{CC} = 1,54$ ,  $R_{CH} = 1,09$ ,  $R_{CO} = 1,43$  А, ∠НСН = ∠ССН =  $109^{\circ}30'$ , а  $C_8O_4$  — скелет плоским. ∠ССО =  $109^{\circ}$  (по аналогии с геометрией  $C_2H_5OH$  [14]). Это предположение находится в соответствии с результатами, полученными из ИК и КР спектров солей К с 18-краун-6 [15]. Дальнейшие рассуждения будут находиться в полном соответствии с выводом, что «комплексы катионов щелочных металлов с краун-эфирами образуются за счет электростатического взаимодействия катиона и отрицательного конца СО-диполя» [16].

Так как в молекуле три вида атомов, отличающихся друг от друга по симметрии, то для расчета значений  $q_i$  необходимо решить систему всего трех уравнений

$$\begin{cases} 9O_0 - 9O_C = 0 \\ 9O_C - 9O_H = 0 \\ 4q_0 + 8q_C + 16q_H = 0 \end{cases}$$

откуда находим:  $q_0 = -0,603$ ,  $q_C = +0,334$ ,  $q_H = -0,016$ . Энергия кулоновского притяжения М+, расположенного в центре молекулы, с 9, атомов C, O и 11 составит 146,9, что даже без учета вклада со стороны по крайней мере еще двух молекул Н<sub>2</sub>О, координированных к М+ на перпендикуляре к плоскости молекулы, существенно превышает значение энергии соль ватации Li+ в водном растворе, равное 127,1 ккал/моль [17]. Энергия притяжения LI+ к каждой из четырех вершин квадрата составит 36,7, а это больше, чем 34 ккал/моль, что соответствует  $R_{LiO} = 1,85 \text{ A}$  для  $Li^+ \cdots OH_3$  [18]. В комплексе  $R_{LiO} = 1,78 \text{ A}$ . Но,  $q_0 = -0,603$  (это меньше по абсолютной величине, чем  $q_0 =$ =-0,654 для  $Li^{\dagger}\cdots OH_2$ ), так что меньшим в первом случае будет размер электронной оболочки атома кислорода. Оба фактора способствуют вхождению Li+ в плоскость молекулы. Большие по размеру катионы других щелочных металлов не могут войти в плоскость молекулы. Предположим, что Na может приблизиться к каждому из атомов О на  $R = 2,25 \,\text{A}$  [18] (для 24,0 ккал/моль в  $\text{Na}^+ \cdots \text{OH}_0$ ). Проведя расчет, получим:  $q_0 = -0.467$ ,  $q_0 = +0.276$ ,  $q_H = -0.022$ ,  $E_{\text{rvs}} = 64,1$  (по 16,0 на каждый контакт Na<sup>+</sup>···O), то есть R в таком комплексе должно быть большим, чем 2,25 A, а  $E_{\rm кул}$  — меньшим.

Аналогично в случае комплекса с  $K^+$ . При  $R_{KO}=2,65$  A [18]  $q_0=-0,409,\ q_C=+0,259,\ q_H=-0,027,\ E_{KYA}=35,4;\ 35,4/4=8,8<17,9$  ккал/моль (в случае  $K^+\cdots OH_2$ ). В соответствии с этим в комплексе должно быть большим  $R_{KO}$  и меньшей  $E_{KYA}$ .

Получается, что при приближении  $M^+$  к плоскости молекулы краун-эфира и последующем прохождении через нее зависимость  $\mathcal{E}_{\text{кул}} - R$  проходит через резко выраженный максимум. Очевидно, что для 12-краун-4 наиболее прочным будет комплекс с  $\text{Li}^+$ .

  $R_{\rm KO}=2,65$  A,  $q_{\rm O}=-0,385$ ,  $q_{\rm C}=+0.235$ ,  $q_{\rm H}=-0.022$ ,  $E_{\rm KYJ}=75,27$ , 75,2/6=12,5<17,9 ккал/моль, поэтому должно быть большим  $R_{\rm KO}$  и меньшей  $E_{\rm KYJ}$ .

Следует огметить, что для комплекса Li+ с 18-краун-6 увеличивается конкуренция с точки зрения энергин комплексообразования между молекулой краун-эфира, с одной стороны, и молекулами  $H_2O$ , с другой. В случае комплекса  $Na^+$  сумма  $E_{\kappa y a}$  и энергии притяжения двух молекул воды, расположенных на перпендикуляре к центру молекулы краун-эфира превышает энергию сольватации (101  $\kappa \kappa a n / \kappa o n b$ ) в водном растворе. Для комплексов Li+ и  $Na^+$  величины  $E_{\kappa y a}$  совпадают, однако вследствие различия в объемах ионов вероятность внедрения молекул воды между  $M^+$  и атомами кислорода молекулы 18-краун-6 будет, очевидно, существенно большей в случае комплекса с Li+, который будет более лабильным, что найдет отражение в значении соответствующей константы устойчивости.

Очевидно также, что для комплексов с 24-краун-8 в плоскость молекулы смогут войти все три катиона, а в случае комплексов Li+ и  $N_a$ + наряду с уменьшением  $\mathcal{E}_{\text{кул}}$  будет большей лабильность.

Проведенные расчеты являются модельными, т. к. кольца  $C_{2n}$   $O_n$ -скелетов молекул краун-эфиров при принятых структурных параметрах не могут быть совершенно плоскими. Это обусловлено тем, что для соседних атомов кислорода  $R_{00} = 2,60$ , которое несколько меньше рекомендованного в литературе «критического» значения, равного 2,76A [19]. В подобных системах барьеры межконформационных переходов не превышают, как правило, 10-15 ккал/моль, поэтому при приближении  $M^+$  по направлению к центру молекулы будут реализоваться те конформации, при которых  $\sum R_{MO}$  будет минимальной. В этом случае максимальной будет величина  $E_{\text{кул}}$ . Для комплексов  $M^+$  с краун-эфирами вклад энергии межконформационных переходов в общую энергию комплексообразования будет небольшим, т. к. в случае молекулы диоксана,  $O(\text{CH})_2(\text{CH}_2)_2O$ , которая является начальной в гомологическом ряду указанных краун-эфиров, величина барьера перехода "креслованная" составляет 4-5 ккал/моль.

Исходя из значения R = 2,76 в комплексе Li + c 12-краун-4 можно ожидать, что два атома кислорода, расположенные по диагонали квадрата, сместятся под плоскость молекулы, а два других будут находиться над плоскостью. Решив систему уравнений для этого случая, получим:  $q_0 = -0.630$ ,  $q_C = +0.355$ ,  $q_H = -0.020$ ,  $E_{\text{кул}} = 127.9$  ккал/моль (посравнению со 146,9 для плоской формы). С этой точки зрения комплекс в растворе будет стремиться к плоской форме. При этом максимальным будет вклад в общую энергию взаимодействия со стороны дополнительно координирующихся молекул, а возможности для координации будут наиболее благоприятными. Что касается соотношения плоской и неплоской форм, то следует помнить об ориентировочном характере «критического» значения  $R_{00}$ .

#### ЛИТЕРАТУРА

- 1. Ю. А. Овчинников, В. Т. Иванов, А. М. Шкроб, В сб. «Мембраноактивные комплексоны», Изд. «Наука», 1974.
- Д. С. Кагонюк, Рукопись депониров. в СНИИТЭХИМ, г. Черкассы, 1975, № 455/75 деп.
- 3. Д. С. Каганюк, ЖНХ, 23, 2003 (1978).
- 4. Д. С. Даганюк, ЖНХ, 23, 2852 (1978).
- 5. L. H. Hillier, V. R. Saunders, J. Chem. Soc., A, 641 (1971).
- J.-B. Robert, H. Marsmann, L. Absar, J. R. Van Vezer, J. A. C. S., 93, № 14, 3320 (1971).
- 7. M. M. Couttera, J. Damnynck, A. Veillard, Theoret. chim. Acta, 27, № 4, 281 (1972).
- 8. L. H. Hillier, M. R. M. Canadine, Disc. Faraday Soc., Nº 47, 27 (1969).
- 9. L. Y. Johansson, J. Blomquist, Chem. Phys. Lett., 34, Nº 1, 115 (1975).
- 10. P. Politzer, P. H. Reggio, J. A. C. S., 94, № 24, 8308 (1972).
- 11. J. R. Sabin, H. Kim, Chem. Phys. Lett., 11, Nº 2, 224 (1971).
- C. D. Gurner, L. H. Hillier, M. F. Guest, J. Chem. Soc. Dalton Trans., № 19, 1934 (1975).
- 13. H. Basch, A. Viste, H. B. Gray, Theoret. chim. Acta, 3, 458 (1965).
- 14. Справочник химика, т. 1, Госхимиздат, Л.-М., 1962.
- 15. M. Fouassier, J. C. Lasseques, J. chim. phys. et phys. chim. blol., 75, № 9, 865 (1978).
- 16. К. Д. Педерсен, Х. К. Френсдорф, Усп. хим. 42, 492 (1975).
- 17. Л. Полинг, Общая химия, Изд. «Мир», М., 1974.
- 18. K. G. Spears, J. Chem. Phys., 57, No. 5, 1842, 1850 (1972).
- Физический энциклопедический словарь, т. 1—5, М., Изд. «Советская энциклопедия», 1960—1966.

УДК 547.413

# АКТИВНОСТЬ АЦЕТАЛЕЙ В РЕАКЦИИ ОТРЫВА ВОДОРОДА АЛКИЛЬНЫМИ РАДИКАЛАМИ

Н. А. БАТЫРБАЕВ, В. В. ЗОРИН, У. Б. ИМАШЕВ, С. С. ЗЛОТСКИИ, Р. А. КАРАХАНОВ и Д. Л. РАХМАНКУЛОВ

Поступило 8 II 1979

Уфимский нефтяной институт

В различных цепных гомолитических жидкофазных процессах с участием циклических ацеталей, например, в реакциях изомеризации [1, 2], теломеризации [3, 4], присоединения [5], приводящих к весьма ценным продуктам, труднодоступным другими способами, важную роль играют реакции алкильных радикалов с субстратом.

В настоящей работе впервые изучена реакционная способность ацеталей (I—VIII) в реакции отрыва атома водорода ундециальными радикалами.

Отношение констант скорости отрыва атома водорода от ацеталя (ДН) и атома хлора от четыреххлористого углерода ( $K_{\rm H}/K_{\rm Cl}$ ), являющееся мерой реакционной способности ацеталей по отношению к ундецильным радикалам, определяли методом конкурирующих реакций [6]. Ундецильные радикалы, генерируемые термическим (80°) распадом перекиси лауроила (ПЛ) в ореде ДН и ССІ<sub>4</sub>, расходуются по двум направлениям.

$$(C_{11}H_{23}COO)_2 \longrightarrow 2C_{11}H_{23} + 2CO_2$$
 (1)

$$C_{11}\dot{H}_{23} + \Delta H \xrightarrow{K_H} C_{11}H_{24} + \Delta$$
 (2)

$$C_{11}\dot{H}_{13} + CCI_4 \xrightarrow{K_{CI}} C_{11}H_{23}CI + CCI_3$$
 (3)

При условии  $[\Pi\Pi]_0 \ll [\Pi\Pi]_0 \ll [\Pi\Pi]_0 \ll [CCl_4]_0 ([\Pi\Pi]_0 = 0,05, [\Pi\Pi]_0 \geqslant 1,0, [CCl_4]_0 \geqslant 1,0$  моль/л) конверсия субстрата и  $CCl_4$  не превышает  $10^0/_0$  и в соответствии с (2) и (3) справедливо выражение (4)

$$\frac{K_{H}}{K_{CI}} = \frac{[C_{11}H_{24}]}{[C_{11}H_{23}CI]} \cdot \frac{[CCI_{4}]}{[ДH]}$$
(4)

Значения относительных констант корости отрыва атома водорода от ацеталей ундецильными радикалами. [ПЛ]<sub>0</sub>=0,05 моль/л, температура 80°, время реакции 10 час.

Соеди-	Ацеталь	K <sub>H</sub> /K <sub>CI</sub>	Соеди- н <b>е</b> ние	Ацеталь	K <sub>H</sub> /K <sub>C1</sub>
1	$\begin{bmatrix} \circ \\ \circ \end{bmatrix}$	0,70	v	(_o\)	0,35
11	$\begin{bmatrix} O \\ O \end{bmatrix}$ $-C_3H_7$	0,98	VI	_O, C, H,	0,54
111	CH3 CO	0,22	VII	CH <sub>2</sub> CH <sub>2</sub> O CH <sub>2</sub>	0,17
IV	$CH^3$ $CH^3$ $CO$ $CO$ $CO$ $CO$	0,35	VIII	CH3CH3O CH-CH3	0,37

Значение параметра (Кн/Ксі) (табл.) определяли из линейной зависимости (рис. 1) [C<sub>11</sub>H<sub>24</sub>]/[C<sub>11</sub>H<sub>23</sub>CI] от [ДН]/[ССІ<sub>4</sub>]. Экспериментальные результаты (табл.) показывают, что реакционная способность циклических ацеталей зависит от размера цикла. По возрастанию активности в зависимости от размера цикла 1,3-диоксацикланы располагаются в ряд: 1,3-диоксациклогексаны < 1,3-диоксациклогептаны < 1,3-диокса циклопентаны (рис. 2). Полученный результат соответствует данным по влиянию размера цикла на активность циклических ацеталей в реакции свободнорадикальной изомеризации, в лимитирующей стадии которой отрыв атома водорода от С2-углеродного атома субстрата осуществляется ацилоконалкильными радикалами [7]. Подобная зависимость активности от размера цикла в гомолитических реакциях характерна для случая, когда переходное состояние близко к конечным продуктам [8]. Изменение sp<sup>3</sup>-гибридизации С<sup>2</sup>-углеродного атома кольца до sp<sup>2</sup>, происходящее в реакции отрыва атома водорода, наименее выгодно для шестичленного цикла, что находит свое отражение в падении параметра  $(K_{\mu}/K_{c_1})^{80^{\circ}}$  для III по сравнению с I и V (рис. 2). Увеличение активности 1,3-диоксацикланов при введении во второе положение алкильного заместителя является общим для пяти-, шести- и семичленных ацеталей. Однако введение алкильного заместителя во второе положние пятичленного цикла увеличивает его реакционную способность меньше, чем в случае шести- и семичленных 1,3-диоксацикланов  $(K_H/K_{Cl})_{tl}/(K_H/K_{Cl})_1 \simeq 1,4;$  $(K_{\rm H}/K_{\rm Cl})_{\rm IV}/(K_{\rm H}/K_{\rm Cl})_{\rm III} \simeq 1,75$ ,  $(K_{\rm H}/K_{\rm Cl})_{\rm VI}/(K_{\rm H}/K_{\rm Cl})_{\rm V} \simeq 1,7$ . Последнее, очевидно, связано с тем, что образующиеся 2-алкил-1,3-диокса-2циклопентильные радикалы являются менее плоскими по сравнению 2-алкил-1,3-диокса-2с 2-алкил-1,3-диокса-2-циклогексильными и

циклогептильными радикалами [9, 10], и стабилизация их за счет алкильного заместителя осуществляется в меньшей степени.

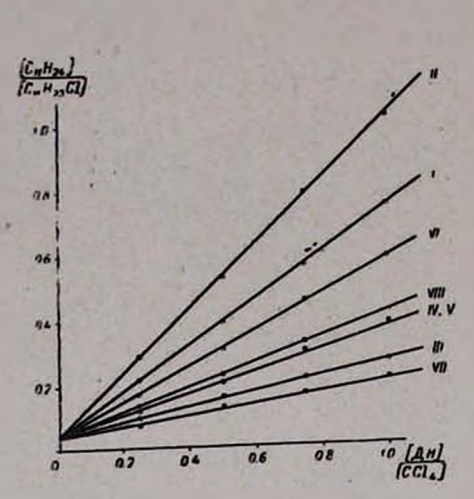


Рис. 1. Зависимость отпошения  $[C_{11}H_{24}]/[C_{11}H_{23}CI]$  от  $[\mathcal{A}H]/[CCI_4]$  при  $80^{\circ}C$ ,  $[\Pi\mathcal{A}]=0.05$  моль/л.

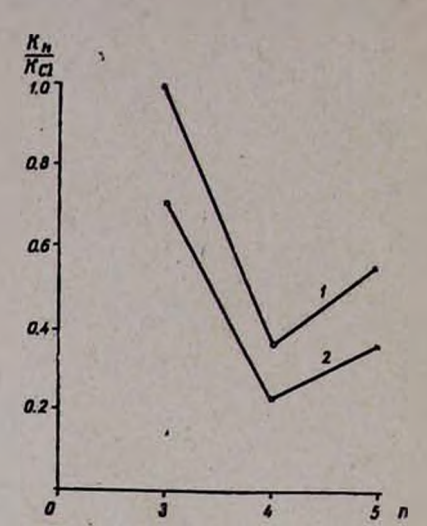


Рис. 2. Зависимость активности циклических ацеталей в реакции с радикалами  $C_{12}H_{23}$  от числа атомов углерода в цикле (n). 1 —  $R = C_3H_1$ , 2 - R = H.

Реакционная способность линейных ацеталей (VII, VIII) сравнима с 1,3-диоксациклогексанами (III, IV). Замена атома водорода, смежного с двумя гетероатомами в 1,1-диэтоксиметанс, на метильную группу увеличивает их активность больше, чем в случае 1,3-диоксацикланов. Последнее, очевидно, связано с более плоским характером образующегося 1,1-диэтоксиэтильного радикала по сравнению с 1,3-диокса-2-циклоалкильными [9].

# Экспериментальная часть

Исходные 1,3-диоксацикланы I—VI получены ацетализацией диолов альдегидами по известной методике [11]. Полученные 1,3-диоксацикланы и четыреххлористый углерод очищали перегонкой над натрием и пятиокисью фосфора, соответственно. Чистоту реагенгов контролировали хроматографически и спектрально (ИК, отсутствие полос поглощения групп С=О, ОН). Использовалась свежеприготовленная перекристаллизацией из хлороформа метанолом перекись лауронла. Опыты по изучению направления распада перекиси лауронла проводили в стеклянных ампулах, которые термостатировали в водяной бане при 80°. Температуру поддерживали при помощи лабораторного термостата. Точность поддерживаемой температуры ±0,1°. Время реакции 10 час. (распад перекиси происходит более чем на 98%).

Анализ реакционной смеси осуществляли хроматографически на хроматографе ЛХМ-8МД при помощи заведомо построенной калибровочной зависимости. Режим анализа: неподвижная фаза ПМС-100 (10%) на хезосорбе AW GMDS, длина колонки 1 м, внутренний днаметр 3 мм, газ-носитель—-гелий, расход газа 30 мл/мин, температура колонки 150°, температура испарителя 250°.

#### ЛИТЕРАТУРА

- 1. E. S. Huyser, Z. Garcia, J. Org. Chem., 27, 2716 (1962).
- 2. Д. Л. Рахманкулов, С. С. Злотский, ХГС, 1977, :011.
- 3. В. П. Наянои, Д. Л. Рахманкулов, С. С. Злотский, А. Б. Терентьев, Изв. АН СССР, сер. хим., № 2, 594 (1975).
- 4. В. П. Наянов, В. В. Зорин, С. С. Злотский, А. Б. Терентьев, Д. Л. Рахманкулов, ЖПХ, 48, 2773 (1975).
- 5. D. Elad, J. Rosental, J. Chem. Comm., 19, 684 (1966).
- Е. Т. Денисов, Константы скорости гомолитических жидкофазных реакций, Изд. «Наука», М., 1971.
- 7. Э. Х. Кравец, С. С. Злотский, В. С. Мартемьянов, Д. Л. Рахманкулов, ЖПХ, 48, 2265 (1975).
- 8. Х. Рюхардт, Усп. хим., 47, 2014 (1978).
- 9. A. J. Dobbs, B. S. Gilbert, R. O. C. Norman, J. Chem. Soc., Ser. A., No. 1, 124 (1971).
- 10. В. В. Зорин, С. С. Злотский, П. Ф. Шувалов, А. П. Моравский, Д. Л. Рахманкулов, Я. М. Паушкин, ДАН СССР, 236, 106 (1977).
- 11. И. Апьок, М. Барток, Р. А. Караханов, Н. И. Шуйкин, Усп. хим., 38, 72 (1969).

УДК 547.732.

# СИНТЕЗ АМИНОВ НА БАЗЕ 2-ХЛОРМЕТИЛ-3,4,5-ТРИХЛОРТИОФЕНА

А. М. СААКЯН, А. А. САФАРЯН и А. Н. АКОПЯН Ниститут органической химии ЛН Армянской ССР, Ереван Поступило 16 V 1979

После создания нового метода синтеза 3,4,5-трихлортиофена на основе доступных продуктов с выходом более 80% [1, 2] и исходя из ароматического характера водородного атома в нем нами проведены синтезы различных его производных с разнообразными функциональными группами [3, 4], в частности продукта его хлорметилирования в 2-хлорметил-3,4,5-трихлортиофен.

Представляло интерес использовать полученное хлорметильное производное для синтеза аминосоединений с концевой трпхлортиенильной группой. В настоящем сообщении приведены результаты взаимодействия 2-хлорметил-3,4,5-трихлортиофена с некоторыми вторичными аминами (диметил-, диэтил-, днэтаноламинами, пиперидином, морфолином) в присутствии поташа по схеме

Как и следовало ожидать, из-за низкой основности дифениламина в вышеприведенных условиях взаимодействий образование соответствующего амина не имело места. Компоненты реакции без изменений вернулись обратно.

Проведением сухого хлористого водорода через эфирный раствор синтезированных аминов были получены их гидрохлориды.

Результаты проведенных опытов приведены в таблице.

# Экспериментальная часть

2-Аминометил-3,4,5-трихлортиофены. В постановке опытов с некоторым изменением была использована пропись [5]. К смеси 42 ммоля α-хлорметилтрихлортиофена и 31 ммоля поташа при охлаждении проточной водой (10—15°) и перемешивании быстро (20 мин.) прикапывают

252 ммоля соответствующего амина. При этом температура смеси повышается до ~25°. По затухании экзотермической реакции перемешивание продолжают еще 6 час. при 50—60°, затем смесь вливают в воду и из органического слоя после обычной обработки перегонкой в вакууме выделяют ожидаемый амин.

Таблица Выходы и физико-химические конствиты аминометилтрихлортнофенов

CIL'S J-CH <sub>2</sub> N=X													
Соединение	x	7, 0/0		) ့ '	d <sup>20</sup>	п <sup>20</sup>	Найдено/вычислено, °/о					Т. пл.	
Coex	A .	Выход,	Т. кна С/жи	Т. пл.,		מיי	С	Н	CI	N	S	хлорида, °С	
I	(CH <sub>3</sub> ) <sub>2</sub>	78	106/2	-	1,3786	1,5582		$\frac{3,32}{3,27}$	43.02		13,41	202—203	
11	(C <sub>2</sub> H <sub>5</sub> ) <sub>2</sub>	91	113/1	-	1,2901	1,5450			39,20 39,08		Name and Address of the Owner, where	195—197	
111	(C <sub>2</sub> H <sub>4</sub> OH) <sub>2</sub>	62	-	67— 69	-	-	_	3.86	34,40 34,97		10,00 10,50	180—181	
IV	C <sub>5</sub> H <sub>10</sub>	72	151/3	-	1,3376	1.5684		4,25	37,54 37,40		10,80	245—248	
V	C <sub>4</sub> H <sub>8</sub> O	78	157/2	-	1,4212	1,5710		3,68 3,48	35,88 37,17		11,59	231—233	
	3.0	1		!							-0.		

Для гомогенизации 33% водных растворов диметиламина и диэтаноламина добавляют в первом случае некоторое количество ацетона, а во втором—немного воды и ацетона.

Гидрохлориды аминов. Через раствор 0,02 моля амина в 50 мл эфира в продолжении 2,5 час. пропускают сухой хлористый водород. Осевшие кристаллы гидрохлорида фильтруют, промывают эфиром и сушат на воздухе.

Гидрохлорид растворим в воде.

## ЛИТЕРАТУРА

- 1. С. Г. Конькова, С. А. Карамян, А. Н. Акопян. Авт. свид. 523095 (1975), Бюлл. изобр., № 28, 63 (1976).
- 2. С. Г. Конькова, А. А. Сафарян, А. Н. Аколян, ЖОрХ, 14, 1978 (1978).
- 3. С Г. Конькова, А. А. Сафарян, А. Н. Акопян, ЖОрХ, 13, 2428 (1977).
- 4. С. Г. Конькова, А. А. Сафафрян, А. Н. Акопян, ЖОрХ, 14, 2162 (1078).
- 5. И. Б. Карманова, Ю. Б. Волькенштейн, Л. И. Беленький, ХГС, 1973, 490.